

ՀԱՅԱՍՏԱՐԻ ՔԻՄԻԱԿԱՐ ՀԱՐԴԵՍ

Химический журнал армении

CHEMICAL JOURNAL OF ARMENIA

LURUSPULUE UNLOSPIL

Վ. Դ. Ազատյան *(խմբադրի տեղակալ)*, Ա. Ա. Ալչուջյան. Հ. Գ. Բահբայան, Գ. Ց. Թաղևոսյան *(պատ. խմբագիր)*, Վ. Մ. Թառայան, Ա. Մ. Հակոբյան, Հ. Ա. Հարոյան, Մ. Գ. Մանվելյան, Հ. Հ. Չալթիկյան, Մ. Հ. Վարդանյան, Ց. Վ. Քրմոյան

*Խմբադրության վարի*չ՝ Ա. Ա. Դավրյան

РЕДАКЦИОННАЯ КОЛЛЕГИЯ

В. Д. Азатян (зам. редактора), А. Н. Акопян. А. А. Алчуджан, А. А. Ароян, Г. Г. Бабаян, С. А. Вартанли, Т. В. Крмоян, М. Г. Манвелян, В. М. Тараян, Г. Т. Татевосян (ответ. редактор), О. А. Чалтыкян

Зав. редакцией: А. А. Давтян

Миринари Руши на выбрания, Распина по выбрания вы выбрания вы выправния вы выбрания вы выбрания выправления выправления выбрания выправления выправления выправления выправления выбрания выправления выбрания выправления выправле

XIX, № 1, 1966

ОБЩАЯ И ФИЗИЧЕСКАЯ ХИМИЯ

УДК 543.422.4+678.763.2

Количественное ИК-спектральное исследование состава сополимера хлоропрена с метилметакрилатом

Л. Г. Мелконян, В. А. Даниелян и А. М. Овсепян

Разработан ИК-спектральный метод количественного анализа сополимеров хлоропрена с метилметакрилатом на содержание звеньев сомономеров методом последовательных приближений. Проведен анализ нескольких образцов сополимеров с разным содержанием метилметакрилата в исходной шихте при 100°/, глубине полимеризации и содержанием 30°/, метилметакрилата в шихте при разных глубинах полимеризации. Относительная погрешность определения молярных концентраций звеньев: хлоропрена $\pm 4,1°/$, метилметакрилата $\pm 6,2°/$.

Сополимеры хлоропрена с метилметакрилатом находят широкое применение в кожевенной промышленности.

Целью настоящей работы является определение с помощью количественного ИК-спектрального анализа состава сополимеров, полученных при $100^{\circ}/_{\circ}$ глубине полимеризации эмульсионной шихты, и сополимеров, полученных при одинаковом составе шихты, но при разной глубине полимеризации.

Хлоропрен и метилметакрилат, сополимеризованные при 40°С по радикально-винильному механизму в эмульсии, при инициировании персульфатом калия и с применением меркаптанов в качестве регуляторов дают сополимеры следующей структуры:

$$\sim$$
 (CH₂-CCI=CH-CH₂)_m-(CH₂-C(CH₃)COOCH₂)_n \sim

Экспериментальная часть

Исследуемые нами сополимеры атактичны, со статистическим порядком чередования звеньев хлоропрена и метилметакрилата в общей цепи сополимера. Что касается порядка присоединения звеньев хлоропрена в полихлоропреновых участках сополимера, очень вероятно преобладание положения 1.4 с малым содержанием звеньев в положении 1.2 или 3.4 (около $4 \div 5^0/_0$), аналогично структуре полихлоропрена. На это указывает отсутствие заметного поглощения в спектре сополимера в области 910 см^{-1} (винил) и 888 см^{-1} (винилиден). Характерная сильная полоса при 1661 см^{-1} доказывает преимущественное преобладание mpanc-изомерии, как и в полихлоропренах, полученных в тех же температурных и рецептурных условиях.

Как известно [1], в полихлоропрене, *транс*-изомерия атомов водорода и хлора при двойной связи С=С дает начало полосе 1662 см⁻¹, а цис-изомерия — 1653 см⁻¹. Наблюдаемая в спектрах сополимера и гомополимера хлоропрена полоса при 1661 см⁻¹ согласуется с выводом о преобладании *транс*-положения как в полихлоропреновых участках сополимера, так и в самом полихлоропрене. На рисунке 1 приведены снятые нами ИК-спектры гомополимеров и сополимеров, растворенных в хлороформе, в области 700—2000 см⁻¹.

Количественное определение содержания звеньев мономеров в сополимерах основано на аддитивности поглощения инфракрасного излучения в точках спектра, соответствующих выбранным—характерным для обоих индивидуальных полимеров — волновым числам. Из исследования приведенных спектров полимеров вытекает, что наиболее сильными и характерными являются следующие полосы поглощения при 1661 см⁻¹ (валентные колебания С—С) для звеньев хлоропрена и при 1724 см⁻¹ (валентные колебания С—О) для звеньев метилметакрилата. Измерения проводились в этих точках спектра.

В настоящей работе нами был использован метод последовательных приближений, т. к. аналитический метод нельзя было применить из-за наблюдаемых отклонений растворов полиметилметакрилата от закона Бугера-Ламберта-Беера. Как известно, метод последовательных приближений исходит из допущений, что при анализе смеси из двух или более компонентов суммарная оптическая плотность при каждом аналитическом волновом числе в первом приближении дает в основном оптическую плотность того компонента, который максимально поглощает в данной точке спектра.

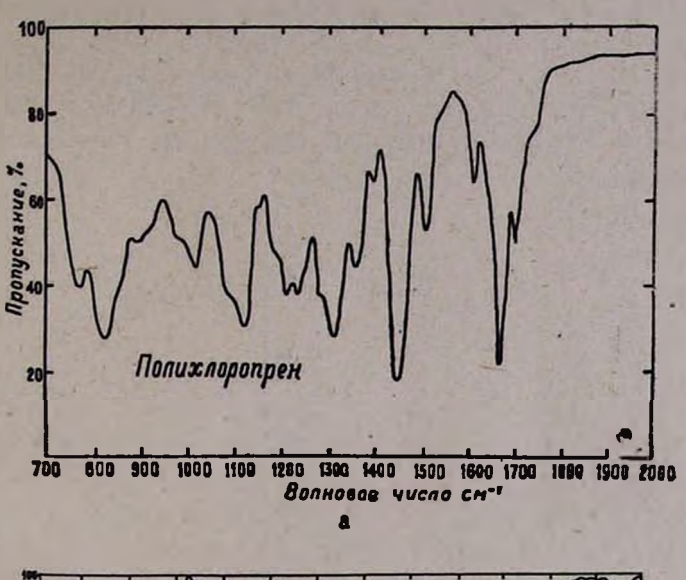
На основе измерения оптических плотностей, приведенных к единице толщины растворов разных молярных концентраций полихлоропрена (C_1) и полиметилметакрилата (C_2) в хлороформе, при волновых числах 1661 $c m^{-1}$ и 1724 $c m^{-1}$ нами составлены графики, изображающие зависимости $\frac{D_1^{1661}}{d}$ от C_1 , $\frac{D_1^{1724}}{d}$ от C_2 и $\frac{D_2^{1724}}{d}$ от C_3 (рис. 2—5). Последняя зависимость оказалась не прямолинейной, что и стало причиной необходимости применения графического метода последовательных приближений. По этим графикам можно найти концентрации компонентов смеси в последовательных прибли-

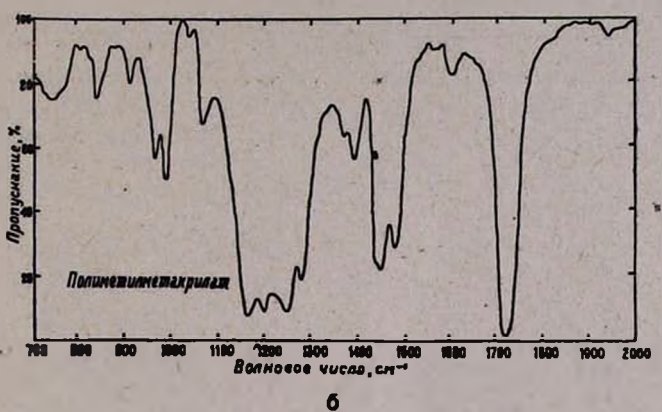
$$D^{1661} = D_1^{1661} + D_2^{1661}; D^{1724} = D_1^{1724} + D_2^{1724}.$$

жениях, пользуясь системой уравнений:

Возможность применения разработанной методики к анализу любых образцов сополимеров, встречаемых на практике, была установлена на искусственных смесях полиметилметакрилата с полихлоропреном, взятых в широком интервале весовых соотношений.

В таблице 1 приведены результаты определения концентраций компонентов в приготовленных нами искусственных смесях.





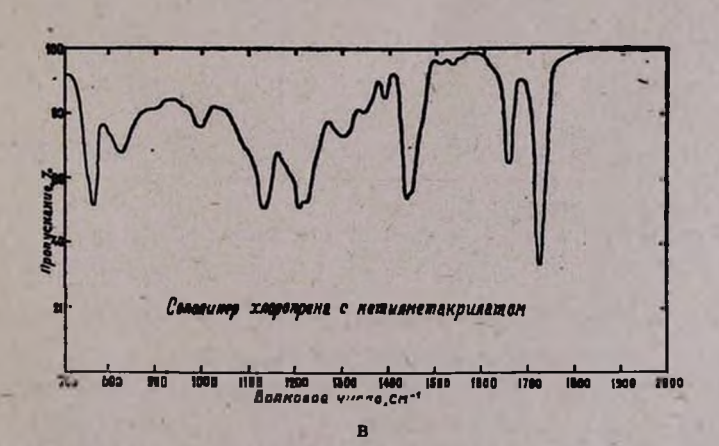


Рис. 1. Инфракрасные спектры поглощения в области 700—2000 см⁻¹ а) полихлоропрен, б) полиметилметакрилат, в) сополимер хлоропрена с метилметакрилатом.

В этой таблице приведены найденные концентрации полихлоропрена и полиметилметакрилата до того приближения, после которого заметных изменений в их значениях не наблюдается. Вычисленные средние относительные погрешности определения молярных концентраций составляют: для полихлоропрена $\pm 4,1\%$, для полиметилметакрилата $\pm 6,2\%$.

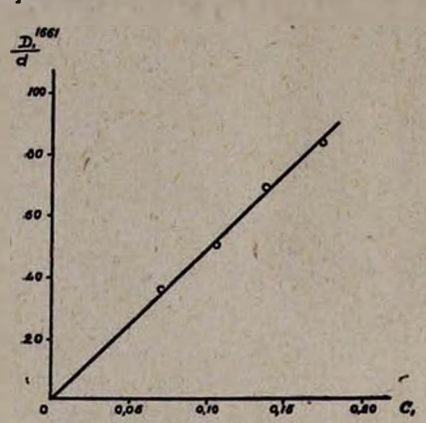


Рис. 2. Зависимость оптической плот-[ности (при 1661 см⁻¹) от концентрации полижлоропрена.

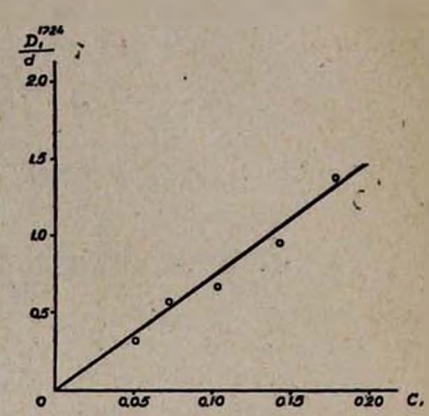


Рис. 3. Зависимость оптической плот ности (при $1724~cm^{-1}$) от концентрации полихлоропрена.

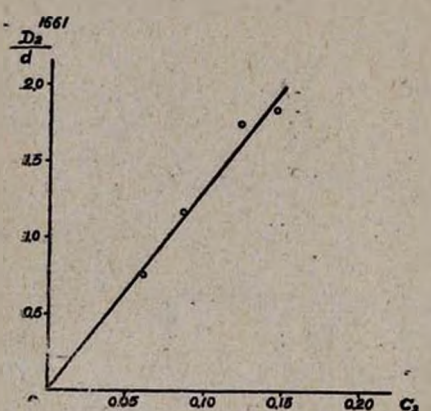


Рис. 4. Зависимость оптической плотности (при $1661 \ cm^{-1}$) от концентрации полиметилметакрилата.

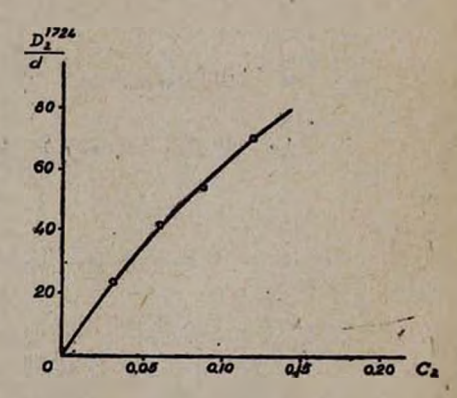


Рис. 5. Зависимость оптической плотности (при 1724 с.м⁼¹) от концентрации полиметилметакрилата.

Заключительным этапом настоящей работы явилось определение процентного содержания звеньев метилметакрилата в его сополимерах с хлоропреном. Были исследованы две серии образцов сополимеров: образцы, полученные сополимеризацией в эмульсионной шихте смесей, содержащих 30, 40 и 60% метилметакрилата при 100% глубине полимеризации, и образцы, полученные из полимеризационной шихты, содержащей 30% (по весу) метилметакрилата при разных глубинах полимеризации (30, 40, 50, 60, 70, 80, 90, 100%).

Таблица 1

	-1103			ность Толщина ность Толщина					Найденные концентрации			
Полимер	Заданные п центрации С/моль д	D:461	D1724	1661 cu ⁻¹	1724 c.u ⁻¹	D1661 d	D1724	первое приближе ние	второе приближе- ние	третье приближе- ине		
IIX IIMMA	0,0938 0,0890	0,571	0,575	0,0995	0,0109	5,75	54,50	0,0961 0,0890	0,0940 0,0855	0,093		
ПХ ПММА	0,0888 0,0451	0,488	0,371	0,0995	0,0109	4,90	34,10	0,086	0,087	0,087		
IIX IIMMA	0,2170 0,0783	1,154	0,487	0,0995	0,0109	11,61	44,65	0,218	0,216	=		
ПХ ПММА	0,1405 0,0308	0,767	0,249	0,0995	0,0109	7,72	22,80	0,147 0,0295	0,147	-		
ΠX ΠΜΜΑ	0,1590 0,0576	0,967	0,434	0,0995	0,0109	9,73	39,80	0,180	0,179 0,055	=		
ПX ПММА	0,0546 0,1241	0,388	0,834	0,0995	0,0109	3,90	76,50	0,0425 0,140	0,043			

ПХ — полихлоропрен ПММА — полиметилметакрилат

Правильность полученных результатов была оценена суммированием найденных концентраций звеньев хлоропрена и метилметакрилата и сравнением полученных данных с заданными концентрациями в г/л (после перевода молярных концентраций звеньев в те же единицы, путем умножения молярных концентраций на молекулярный вес соответствующего мономера). На основе этих же данных были рассчитаны процентные содержания ММА в сополимере (табл. 2 и 3).

Таблица 2

	е рацин В 2/л	1661	c.u-1	1724	см ⁻¹	Найденны ные конц		ая ая эяция	ый %	
"/ MMA	Заданны концентр раствора	d [cn]	$\frac{D^{1661}}{d}$	d [c.m]	$\frac{D^{1724}}{d}$	жлоро- прен	MMA	Найденн суммарн концентр в 2/л	Найденный ММА	
30	24,00	0.0995	9,74	0,0109	49,2	0,176	0,074	23,39	33,5	
40	22,55	0,0999	9,38	0,0113	55,0	0,166	0,0865	23,35	37,1	
60	18,00	0,0999	5,62	0,0113	62,8	0,0855	0,106	18,2	58,4	

Анализ данных таблиц 2 и 3 показывает, что в основном найденные суммарные концентрации очень близки к заданным (средняя относительная погрешность $\pm 4,3$). При анализе образцов, содержащих 30% метилметакрилата в шихте, заметно почти постоянное малое содержание его в сополимере (около $10-11^{\circ}/_{\circ}$), до глубины полимеризации $80^{\circ}/_{\circ}$, после чего содержание его резко возрастает до полного обнаружения количества, заданного в шихте. Это обстоятельство свидетельствует о резком отличии констант сополимеризации рассмотренных мономеров.

Таблица 3

поли-	ые грации	1661	1 cm ⁻¹ 1		cm ⁻¹	Найдения ные конц	е моляр- ентрации		Найденный °/	
Глубина п меризации Заданные концентра в 2/л		d [c.u.]	D1861 d	d [c.n.]	D1724	хлоро- прен	мма	Нанденная суммарная концентрая в г/л		
30	18,0	0.0999	8,91	0,0251	19,6	0,172	0,0235	17,55	13,4	
40	17,9	0,0999	9,07	0,0251	16,88	0,177	0,0195	17,6	11,09	
50	22,9	0,0999	12,83	0,0113	21,8	0,252	0,025	24,8	10.1	
60	17,55	0,0999	9,42	0,0251	14,65	0,185	0,0165	18,05	9,15	
70	23,4	0,0999	11,62	0,0113	20,41	0,226	0,0235	22,35	10,5	
80	17,34	0,0999	8,22	0,0251	17,38	0,16	0,02	16,15	12,35	
90	18,5	0,0999	7,67	0.0251	34,7	0,141	0,047	17,2	27,3	
100	17,9	0,0999	6,91	0,0251	40,2	0,124	0,058	16,8	34,5	

Характерно то, что в большинстве случаев (табл. 2 и 3) найденные суммарные концентрации несколько меньше заданных. Это связано, вероятно, с нескольким увеличением содержания звеньев хлоропрена, присоединенных в положении 1,2 или 3,4 при сополимеризации хлоропрена с метилметакрилатом. Однако, на этот вопрос можно дать исчерпывающий ответ только после подробного структурного анализа полученных сополимеров.

Спектры были сняты, и измерения проводились на инфракрасном спектрофотометре ИКС-14 с оптикой из NaCl.

Всесоюзный научно-исследовательский проектный институт полимерных продуктов

Поступило 9 XI 1964

ՔԼՈՐՈՊՐԵՆԻ ԵՎ ՄԵՔԻԼՄԵՏԱԿՐԻԼԱՏԻ ՀԱՄԱՏԵՂ ՊՈԼԻՄԵՐԻ ԲԱՂԱԴՐՈՒԹՅԱՆ ՔԱՆԱԿԱԿԱՆ ՈՒՍՈՒՄՆԱՍԻՐՈՒԹՅՈՒՆԸ ԻՆՖՐԱԿԱՐՄԻՐ ՍՊԵԿՏՐԱՍԿՈՊԻԱՅՈՎ

Լ. Գ. Մելքոնյան, Վ. Հ. Դանիելյան և Ա. Մ. Հովսեփյան

Udhnhaid

որոշված ինֆրակարմիր սպեկտրալ եղանակ։ «հեջ նշված երկու մոնոմերների օղակների պարունակության քանակական Մշակված է քլորոպրեններ և մեթիլմետակրիլատի համատեղ պոլիմերի Նկարահանված են երկու մոնոմերների հոմոպոլիմերների և նրանց համատեղ պոլիմերի ինֆրակարմիր սպեկտրները, 700 + 2000 ևմ⁻¹ տիրուլ-Թում։ Դրանց հիման վրա 1661 ևմ⁻¹ և 1724 ևմ⁻¹ (համապատասխանաբար C=C և C=O վալենտական տատանման ալիքալին Թվերի) սպեկտրալ կե-տերում մշակված է անալիտիկ եղանակ, հիմնված հաջորդական մոտավորու-Ելունների սկզրունքի վրա։

արդլուն ընհրը։

արդլուն ընհրը։

արդլուն ընհրը։

Օղակների մոլալին կոնցենտրացիաների որոշման հարաբերական սխալը քլորոպրենի և մեթիլմետակրիլատի համար համապատասխանաբար կազմում է ±4,1% և ±6,2%

ЛИТЕРАТУРА

- 1. I. T. Maynard. W. E. Mochel, J. Polym. Sci. 13, 251 (1954).
- 2. В. Вест (редактор), Применение спектроскопии в химии, ИЛ, Москва, 1959.
- 3. Л. Беллами, Инфракрасные спектры молекул. ИЛ, Москва, 1957.

XIX, № 1, 1966

УДК 541.183+536.423.1

Влияние летучих растворителей на сопротивление монослоев высших спиртов испарению

Т. В. Крмоян, Р. К. Погосян и Э. Б. Бохян

Изучено влияние растворителей на сопротивление монослоев 1-гексадеканола и 1-октадеканола испарению. Обнаружено, что и-пропанол повышает, а бензол понижает сопротивление конденсированных монослоев. Изучена также растекаемость монослоев 1-октадеканола при 21°, 26° и 31°. Показано, что ход изотерм растекаемости и индукционный период зависят от температуры. При нанесении монослоев с помощью растворителя уменьшается энтропия, а также энтальпия активации проницаемости монослоя. Эти изменения, однако, не компенсированы и, в зависимости от природы растворителя, повышается или понижается свободная энергия активации проницаемости, которая является мерилом компактности монослоя. Примеси растворителей, если они присутствуют в монослое, действуют не по закону аддитивности сопротивления бинарных монослоев, а по принципу изменения упарядоченности и силы взаимодействия между молекулами монослоя. Суммарный эффект приводит к изменению силы отталкивания между группами СН₂ монослоя и диффундирующими молекулами Н₂О.

Большинство авторов считает, что при нанесении монослоев нерастворимых веществ на поверхность воды с помощью летучих растворителей последние полностью испаряются и поэтому не влияют на поведение монослоев. Как известно, существует и другая точка зрения: предполагается, что растворитель может изменить агрегатное состояние монослоя [1]. В последнее время этот вопрос исследуется в связи с изучением испарения воды через монослой [2]. Арчером и Ла Мером обнаружено, что удельное сопротивление монослоев жирных кислот изменяется в зависимости от природы растворителей и концентрации растворенного вещества [3]. Эти результаты по существу были подтверждены изучением сжимаемости монослоев [4, 5], причем считается, что бензол адсорбируется монослоем жирных кислот необратимо, а петролейный эфир-обратимо. Как известно, сопротивление бинарных монослоев аддитивно по правилу параллельно действующих сопротивлений [6, 7]. Этот закон использован Арчером и Ла Мером для объяснения действия растворителей. Предполагается, что растворителъ, который лишен защитных свойств, занимает хотя и незначительную, но определенную площадь на поверхности воды и поэтому происходит понижение сопротивления монослоя испарению, выражаемое следующей формулой:

$$\frac{1}{r_{13}} = \frac{1 - x_2}{r_1} + \frac{x_2}{r_3} \tag{1}$$

где r_{12} — сопротивление монослоя, содержащего x_2 молярную долю растворителя, r_1 — сопротивление монослоя, нанесенного без растворителя, а r_2 — сопротивление чистого растворителя. Как вытекает из (1), а также из логарифмического закона аддитивности [7], r_{12} не может превышать r_1 . Однако, нами показано [8], что, в противоположность сказанному, при применении спирта с низким молекулярным весом в качестве растворителя сопротивление 1-гексадеканола повышается примерно на $50^{\circ}/_{\circ}$.

1-тастоящая работа посвящена изучению влияния полярных и неполярных растворителей на защитные свойства и растекаемость монослоев 1-гексадеканола и 1-октадеканола. На основании полученных

результатов сделана попытка выяснить механизм действия летучих растворителей. Задача влияния амфипатичности первичных спиртов является предметом отдельного сообщения [9].

Экспериментальная часть

Использованы два образца 1-гексадеканола, изученные нами ранее [10]: обычный (п) и перекристаллизованный из петролейного эфира (пл). 1-Октадеканол синтезирован С. Г. Агбалян восстановлением очищенной стеариновой кислоты (т. пл. 69°С) с щью LiAlH. Был применен образец неизвестного происхождения; оба продукта имели одинаковую т. пл. (57°-59°), а данные сопротивления не отличались в пределах ошибки измерения. Применялись перегнанные и-пропанол, н-гексан, петролейный эфир (т. кип. 35°-45°), бензол и дважды дистиллированная вода (рН 5,6 при 25° в равновесии с СО,). Измерение удельного сопротивления монослоя испарению г, проводилось в двух эвапориметрах, один из которых описан в работе [10]. Второй прибор сконструирован по

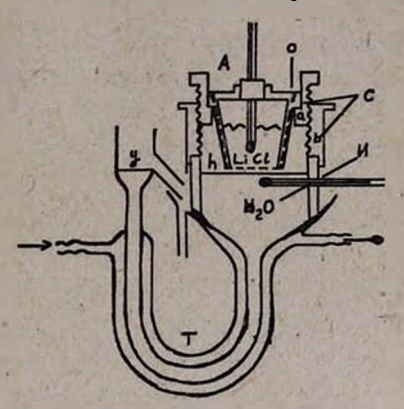


Рис. 1. Схема прибора для измерения удельного сопротивления монослоя испарению. Т - термостатированный сообщающийся сосуд, И - стеклянный испаритель, снабженный вакуум-рубашкой, С - соединитель из органического стекла, состоящий из двух частей а и в, снабженных резьбой для регулирования растояния h между поверхностью воды и абсорбентом, А - абсорбционная посуда из органического стекла с отверстием о на стенке сбоку для поддержания атмосферного давления на поверхности воды.

принципу сообщающихся сосудов, что позволяет поддерживать постоянный уровень воды в испарителе. Схема нового эвапориметра показана на рисунке 1. Принципы калибровки приборов и методика измерения $r_{,}$ описаны в работе [10]. При прямом нанесении монослоя из трехмерного состояния был использован кристаллик с периметром 3—4 мм. При применении растворителя монослой создавался путем нанесения из микропипетки определенного объема раствора, содержащего прибли-

зительно 11 мг/мл вещества с таким расчетом, чтобы на поверхности воды был избыток, обеспечивающий максимальное вытеснение растворителя. Поверхностное давление конденсированных монослоев было определено по методу уравновешивания кварцевой пластинки при помощи пружиных весов [11].

Обсуждение результатов

Влияние растворителей на удельное сопротивление монослоя 1-гексадеканола испарению. На рисунке 2 изображены значения логарифмов проницаемости $x_f = \frac{1}{T_f}$ монослоя 1-гексадеканола в зависимости от обратной величины абсолютной температуры испарения 1/T. Кривая 1 представляет данные, полученные при прямом нанесении

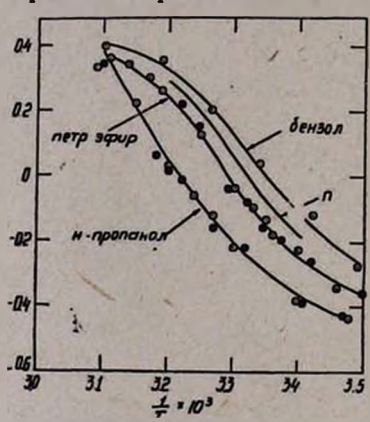


Рис. 2. Влияние температуры на проницаемость монослоев 1-гексадеканола, нанесенных из кристаллика, а также из растворов в и-пропаноле, петролейном эфире и бензоле.

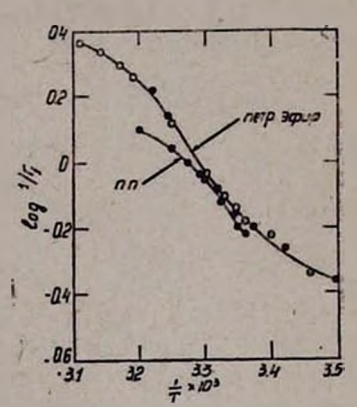


Рис. Влияние температуры на проницаемость монослоя, нанесенного из кристаллика, 1-гексадеканола, перекристаллизованного из петролейного эфира (nn), а также из растворов в петролейном эфире.

1-гексадеканола (образец n). Как видно из других кривых, при нанесении монослоя с помощью n-пропанола r_f повышается. Петролейный эфир, хотя и незначительно, тем не менее также повышает r_f , а бензол — понижает. С другой стороны, n-гексан заметного эффекта не оказывает, и поэтому эти данные не представлены на рисунке. На рисунке жирные точки относятся к образцу nn, а кружки — к n. Следовательно, для данного растворителя поведение этих двух образцов идентично, в противоположность тому, что при прямом нанесении nn обладает более высокими защитными свойствами, чем n [10]. Казалось бы, что причина этого — присутствие петролейного эфира в 1-гексадеканоле, остающегося после перекристаллизации при низких температурах. Сравнение значения r_f для nn, нанесенного прямо из кристаллика и из раствора в петролейном эфире (рис. 3), показывает,

что для первого случая r_f сильно повышается при температуре выше 30° . Следовательно, к увеличению r_f приводит не столько присутствие петролейного эфира, сколько изменение свойств 1-гексадеканола в результате перекристаллизации. Разница в поведении n и nn при прямом нанесении из кристаллика может быть объяснена не различием в их чистоте, а изменением кристаллохимических свойств 1-гексадеканола и, вероятно, как предполагалось ранее, понижением температуры превращения форм $sub \alpha \rightleftarrows \alpha$ от 35° до 27° [10].

Влияние растворителей на растекаемость и сопротивление монослоя 1-октадеканола испарению. Сопротивление 1-октадеканола изучено при нанесении монослоя с помощью н-гексана [12]. Изучена также эффективность на полевых испарителях монослоя, нанесенного из раствора в керосине [13]. Определена начальная скорость растекания монослоя, нанесенного из кристаллика, причем, установлено, что он растекается очень медленно по сравнению с 1-гексадеканолом [4]. Однако, еще не изучены г, конденсированных монослоев 1-октадеканола, нанесенного прямо из кристаллика, влияние продолжительности хранения монослоя в равновесии с кристалликом и, наконец, влияние температуры и растворителей.

Как известно, при прямом нанесении 1-гексадеканола, после 5— 10 минут r_f достигает максимальной постоянной величины. Новый эвапориметр позволил непосредственным измерением r_f изучить кинетику

растекания 1-октадеканола при продолжительности хранения монослоя в несколько суток. На рисунке 4 представлены результаты, полученные при 21°, 26° и 31°. Кривые имеют индукционный период, продолжительность которого увеличивается с падением температуры. Ход кривых также зависит от температуры. Данные показывают, что растекаемость — сложное явление и имеет большое значение

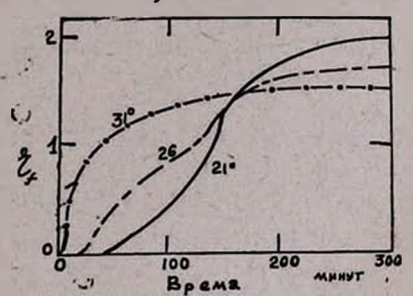


Рис. 4. Растекаемость монослоев 1-октадеканола.

для правильного применения монослоев. По результатам данной работы для достижения максимального равновесного значения при прямом нанесении монослоя требуется от 5 до 15 часов (в зависимости от температуры) на испарителе площадью 35 см², если кристаллик имеет периметр 3—4 мм.

На рисунке 5 представлены кривые r_f-t 1-октадеканола (t-t температура), снятые через 30 минут после нанесения монослоя прямо из кристаллика (кривая 2). Данные, полученные при продолжительности хранения монослоя в течение 15 часов, представленные в виде стрелки, показывают влияние растекаемости на поведение монослоя. Кривая 1 представляет данные, полученные с 1-гексадеканолом при нанесении монослоя из кристаллика (образец n). В противоположность

1-гексадеканолу кривая 1-октадеканола проходит через максимум, который исчезает как при продолжительности хранения монослоя 15 часов, так и при его нанесении из растворов в n-гексане (2B) и n-пропаноле (2A). Таким образом, можно считать твердо установленным, что причиной образования максимума является медленность растекания монослоя. Однако, максимальное значение r_f 1-октадеканола, полученное при прямом нанесении, не достигает значения r_f , полученного при нанесении монослоя с помощью n-гексана и, особенно,

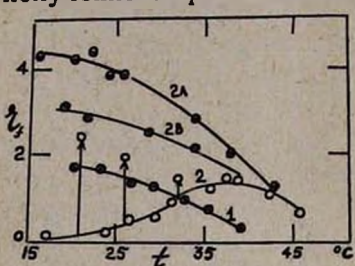


Рис. 5. Зависимость удельного сопротивления испарению r_f от температуры t для 1-гексаде-канола (1), 1-октадеканола, нанесенных из кристаллика (2), а также из растворов в n-гексане (2B) и n-пропаноле (2A). Стрелки показывают данные кривой (2) после 15 часового хранения монослоя.

и-пропанола (таблица 1). Как эти данные, так и данные для 1-гексадеканола [8] указывают на то, что растворители нельзя считать инертными.

Механизм действия летучих растворителей на защитные свойства монослоев. Как показано в работе [10], проницаемость монослоя может быть выражена формулой

$$x_{f} = \frac{AT^{3}}{f^{2}} e^{-\frac{\Delta F^{2}}{RT}} \tag{2}$$

где f — поверхностное давление, T — температура испарения, ΔF^+ — свободная энергия активации, а R — газовая постоянная. A — является параметром, обратно пропорциональным длине ориен-

тированных молекул поверхностно-активного вещества и среднему газокинетическому диаметру столкновения диффундирующих молекул H_2O . Если диффузия водяного пара через монослой имела место без образования активированного комплекса, то x_f монослоя должно рав-

няться $\frac{AT^3}{f^2}$, что примерно в 1000 раз выше его истинной величины,

как определено экспериментально для 1-гексадеканола. Причина заключается в том, что при переходе в узкое пространство молекулы H_2O приближаются к группам CH_2 и проявляется сила отталкивания, которая определяет ΔF^+ в уравнении (2). Так как сила отталкивания зависит от длины и ширины прохода в монослое, то ΔF^+ можно считать мерилом компактности монослоя. С другой стороны $\Delta F^+ = \Delta H^+ - T\Delta S^+$. Энтальпия активации проницаемости монослоя ΔH^+ равна силе взаимодействия молекул монослоя между собой и с водой, а энтропия активации проницаемости ΔS^+ пропорциональна вероятности образования активированного комплекса и определяется упорядоченностью монослоя. Изучение изменения этих энергетических параметров позволяет сделать важные заключения относительно межанизма действия растворителя.

					Таблица	1
Влияние	растворителей	на	r_f	когооном	1-гексадеканола	

4-1	r, cek/cm									
Темпера- тура С		ого из кри- плика	нанесенного из раствор							
	через 30 минут	через 15 часов	в н-гексане	в н-пропа- ноле						
21	0,1	2,7	3,3	4,5						
26	0,4	1,7	2,5	3,9						
31	0,9	1,5	2,0	2,5						

 ΔF^+ может быть определена по экспериментальным данным f их с использованием уравнения (2). Энтропия активации дана [10] по формуле

$$\Delta S^{+} = R \left(\ln \frac{Cf^{2}}{AT^{3}} - \frac{f - rb}{b} \right) \tag{3}$$

где C — предэкспоненциальный множитель, а b является эмпирической константой в уравнении f=aT-b. $f=\Psi(T)$, строго говоря, не линейно, а b колеблется в пределах $\pm 10-15^{\circ}/_{\circ}$; поэтому, точность определения $\Delta S^{+} \pm 3$ кал/град, $a-\Delta H^{+} \pm 800$ кал/моль. Точность же ΔF зависит только от точности измерения f и x_{f} и равна примерно ± 50 кал/моль. Для расчета ΔF^{+} монослоев, нанесенных из раствора, в работе [8] было использовано значение f, которое на 2-3 дин/см выше значения f, полученного при нанесении монослоя из кристалликов. Так как в первом случае с течением времени f падает, то в настоящей работе, используя среднюю величину f, $\frac{AT^{*}}{f}$ была принята

постоянной для данного монослоя независимо от метода нанесения. Результаты расчетов приведены в таблице 2, откуда можно сделать следующие заключения:

- 1) ΔF^+ 1-октадеканола равно 4250 кал/моль, а 1-гексадеканола—3660 кал/моль при 27°. Следовательно, ΔF^- для СН₂ группы равно 295 кал/моль. Расчеты, сделанные исходя из величины кажущейся энергии активации E'_a , дают 240 кал/моль. Этот результат указывает на то, что уравнение (2) достаточно правильно отражает механизм проницаемости монослоев. Дополнительным подтверждением уравнения (2) и расчетов является то, что если экстраполировать ΔF^+ до 1-додеканола, то получается x_f этого спирта, равное 9 c_{m} /сек, т. е. 1-додеканол практически лишен защитных свойств, что соответствует экспериментальным данным [9].
- 2) При нанесении монослоя из растворов ΔS^+ и ΔH^+ понижаются, причем происходит как увеличение, так и уменьшение ΔF^+ проницаемости в зависимости от природы растворителя. Растворитель.

Таблица 2

Энергетические параметры проницаемости монослоев высших спиртов в отношении к водяному пару

1	1000	930-1-	1-r	ексај		1-о к	таде	канс	л	1.					
	33.0	3		из растворов в							из растворов в				
	из кри	из кристаллика				петролейном эфире		бензоле		нз кристаллика*		н-пропаноле		н-гексане	
температура °C	27	35	27	35	27	35	27	35	21	40	21	40	21	40	
f дин/см	42	46	42	46	42	46	42	46	33	37	33	37	35	35	
х, см/сек	0,91	1,54	υ,59	0,91	0,77	1,43	1,11	2,0	0,37	0,69	0,22	0,53	0,30	0,62	
Е кал/моль	9350	13800	6130	12700	7340	13800	7260	12310	9700	24800	2500	11300	3000	10,00	
С см/сек	5,9-10	8,1-10	3.104	9-10"	3,9.105	1,8.1010	1,8-105	8,1·10°	5,6.10	1,4.1017	19	4-10°	62	1,7-10	
ΔF^+ кал/моль	3660	3370	3920	3690	3770	3410	3600	3210	4310	4180	4620	4340	4400	4240	
ΔS ⁺ кал/град	26,8	40,6	16,3	40,4	23,2	42,2	19,9	36	28.5	75	3,3	31,2	5,7	29,4	
Δ <i>H</i> ⁴ кал/моль	11730	15910	8830	16170	10750	16450	9590	14340	12720	27740	5590	14110	6080	19230	
K ₀	111		+7,1°/ ₀	+9,5°/	+3%	+1,2°/	-1,6°/o	-4,6°/ ₀	-		+7,2°/	+3,8°/°	+2,1°/	+1,40	

При 27 ΔF⁺ 1-октадеканола 4250 кал/моль.

играет двойную роль, понижает силы межмолекулярного взаимодействия в разделе фаз и увеличивает растекаемость монослоя. С другой стороны, он увеличивает упорядоченность монослоя. Суммарный эффект приводит к понижению или повышению компактности монослоя. По мнению Дервишяна, вращение СН, групп вокруг С-С связи в цепи приводит к изменению длины цепи и поперечного сечения молекул, ориентированных на поверхности воды. Растворитель, изменяя силы межмолекулярного взаимодействия, может приводить к врашению CH₂ групп. Далее, как было отмечено в начале настояшего сообщения, он может изменить агрегатное состояние монослоя [1]. Наконец, молекулы растворителя при переходе через монослой сжимают последий [9]. Так как способ сжимания может изменить состояние и структуру монослоев [16], то, очевидно, компактность также изменится. Эти три фактора совместно изменяют силы отталкивания при переходе молекулы H₂O и поэтому значение ΔF является очень характерным для монослоя. В таблице 2 приведено процентное изменение ΔF в результате нанесения монослоя с помощью растворителей (K_0) . Из этих данных видно, что при комнатной температуре и-пропанол увеличивает компактность 1-гексадеканола и 1-октадеканола на 7%, а петролейный эфир и гексан — на 3%, бензол понижает компактность 1-гексадеканола на 1,5%. Влияние и-пропанола равносильно увеличению высоты ориентированных молекул 1-октадеканола на одну СН, группу при одновременном росте растекаемости больше. чем в 200 раз.

В заключение следует отметить, что некоторые молекулы растворителя, вероятно, остаются в монослое во втиснутом виде. Эти примеси, однако, действуют не по закону аддитивности, а по принципу изменения компактности монослоя, причем свободная энергия активации проницаемости также не аддитивна, а повышается или понижается в зависимости от природы растворителя. Вероятно, важную роль играет не столько присутствие примесей, сколько метод их внесения в монослой.

Институт органической химин АН АрмССР

Поступило 2 X 1964

8ՆԴՈՂ ԼՈՒԾԻՉՆԵՐԻ ԱԶԴԵՑՈՒԹՅՈՒՆԸ ԲԱՐՁՐ ԱԼԿՈՀՈԼՆԵՐԻ ՄԻԱՄՈԼԵԿՈՒԼԱՅԻՆ ՇԵՐՏԵՐԻ ՋՐԱԳՈԼՈՐՇԻԱՑՄԱՆ ԴԻՄԱԴՐՈՒԹՅԱՆ ՎՐԱ

8. վ. Քուքոյան, Ռ. Կ. Պոդոսյան և Է. А. Аոխյան

Udhnhnid

Ուսումնասիրվել է 1-հե քսադեկանոլի և 1-օկտադեկանոլի միամոլեկուլալին շերտերի տարածման նպատակով օգտագործվող ցնդող լուծիչների Армянский химический журнал XIX, 1—2

NA-6483.

ազդեցությունն այդ շերտերի ջրագոլորշիացման դիմադրության վրա։ Պարդվել է, որ բենզոլը իջեցնում է, իսկ հեքսանը, նաֆթալին եթերը և, առանձրապես, պրոպանոլը բարձրացնում են շերտի դիմադրությունը։ Ուսումնասիրվել է նաև 1-օկտադեկանոլի բլուրնդներից միամոլեկուլային շերտերի տարածման լրիվ կինետիկան։ 8ուլց է տրվել, որ կինետիկական կորևրի ընԹացքը կախված է ջերմաստիճանից, ըստ որում ինդուկցման ջրջանն ալնքան ևրկար է, որջան ցածր է ջերմաստիճանը։ Լուծիչների ազդեցության բնուլթը բացահայտելու նպատակով օգտագործվել է հեղինակների մշակած միամոլեկուլային շերտի Թափանցելիության տեսությունը։ Համաձալն հաշվումների, լուժիչներն րստ ընուլթի ուժեղացնում կամ թուլացնում են այն վանողական ուժերը, որոնը առաջանում են, երբ ջրի մոլեկուլը շերտի միջով Թափանցելիս մոտևնում է մեթիլենային խմբին։ Պրոպանոլի ազդեցությունը, օրինակ, համարգրճ է ղիտղակրումանին շրևակ ետևցևություն որի CH° խղեսով աջրևութ։ լածիչը, հետևարար, ազդում է ոչ Թե ըստ զուդահեռ գործող դիմադրությունների կանոնի, այլ համաձայն միջմոլեկուլային ուժերի և մոլեկույների դասավորման փոփոխությունների, ընդ որում փոխվում է շերտի հարակցական խտությունը։ Այս վերջին հատկության չափանիշն է միամոլնկուլային շերտի ակւմակրղեմ է տարա մանագրան։

ЛИТЕРАТУРА

1. A. Marcelin, Les Solutions Superficielles, Paris, 1931, crp. 40, 60.

2. F. Sebba, H. V. A. Briscoe, J. Chem. Soc. 1940, 114.

- R. J. Archer, V. K. La Mer, J. Phys. Chem. 59, 200 (1955).
 H. D. Cook, H. E. Ries, Jr., J. Am. Chem. Soc. 60, 1533 (1956).
- V. K. LaMer, M. L. Robbins, J. Phys. Chem. 62, 129 (1958).
 I. Langmuir, V. J. Schaefer, J. Franklin Inst. 235, 119 (1943).
- 7. T. Barnes, V. K. LaMer, Retardation of Evaporation by Monolayers, New York, 1962, crp. 9.
- 8. Т. В. Крмоян, Р. К. Погосян, Изв. АН АрмССР, ХН 17, 587 (1964).
- 9. Т. В. Крмоян, Р. К. Погосян, Н. А. Азатян, Коллондный журнал, в печати.

10. Т. В. Крмоян, Р. К. Погосян, Изв. АН АрмССР, ХН 16, 97 (1963).

11. А. А. Трапезников, ЖФХ 20, 61 (1946).

- 12. V. K. LaMer, L. A. G. Aylmore, T. W. Healy, J. Phys. Chem. 67, 2793 (1968).
- A. V. Deo, K. V. George, N. R. Sanjana, S. B. Kulkarni, M. H. Gharpurey. Indian J. Meteorol, & Geophys. 14, 453 (1963).
- A. V. Deo, S. B. Kulkarni, M. K. Gharpurey, A. B. Biswas, J. Phys. Chem. 66, 1361 (1962).
- 15. D. G. Dervichian, Surface Chemistry, London, Butterworths Scientific Publications, 1949, crp. 47.
- 16. D. G. Dervichian, J. Chem. Phys. 7, 931 (1939).

XIX, № 1, 1966

НЕОРГАНИЧЕСКАЯ И АНАЛИТИЧЕСКАЯ ХИМИЯ

УДК 541.49+546.47+546.711

ՄԱՆԳԱՆԻ ԵՎ ՑԻՆԿԻ ՔԼՈՐԻԴՆԵՐԻ ԿՈՄՊԼԵՔՍԱՅԻՆ ՄԻԱՑՈՒԹՅՈՒՆՆԵՐԻ ՍՏԱՑՈՒՄԸ ՉՀԱԳԵՑԱԾ ԼԻԳԱՆԴՆԵՐԻՑ

0. Ն. Ավագյան և Ս. Վ. Ոսկեւչյան

Մի թեղան և MnCl₂·2C₅H₁₇ON, ZnCl₂·C₆H₁₁N, ZnCl₂·C₆H₁₁N·2H₂O կոմպլեցշային միացությունները։ Այդ միացությունների ինֆրակարմիր սպեկարների ուսումնա. «իրությունը ցույց է տալիս, որ կոմպլեցսագոյացումն ընթանում է օրդանական լիդանդի ացետիլինային իմրի և աղոտի կապերի ճաշվին։

Դրականության մեջ չեն նկարագրված մանգանի և ցինկի կոմպլեքսալին միացությունները ամինաացետիլենային լիգանդների հետ։ Գյատինի մի քանի կոմպլեքսային միացությունները ամենաացետիլենային ադենդներից սինթեգել են Գելմանը և աշխատակիցները [1]։ Մենք ստացել ենք անցման շարքի մետաղների մի քանի խելատալին կոմպլեքսալին միացություններ [2] և ցույց ավևլ, որ կոմպլեքսագոլացումն ամինատլենային և ամինաացետիլենային լիանդների հետ ընթանում է ինչպես ի հաշիվ ազոտի ազատ էլեկտրոնային փուլգի, ալնպես էլ չհագեցած ացետիլենային և ալենային կապերի։ Հաստատված է նաև, որ այդ միացությունները կալուն են հիմնային միջավալրում։

րնունին [3]։ ըստանությանը ուրը ոչ դիանը արոտիար բշարտիս իրուր, ան վահոմ է ժանձրաատանությանը ուրը ոչ դիանը արոտիսանաչ բշարտիս չանարնը է, ձիրնի, գարձրաիստ ըշարտիս անանանան հատարան չարությանը չանանանը։ իստովատիս անանանանանը (ջատիսանը չինըականը չինըականըում իրուրըստությանը և ձիրուպատիսության դրձ օգատասանը արուրանը ու չինըստությանը արուրանանը։ ըստությանը և ձիրուպատիսության դրձ օգատասանը արանում թուրանը ուրանը արևանանանանը։

Փորձնական մաս

MnCl₂· $2C_0H_{17}ON$ ։ Որպես ելանլու β օգտագործել ենք քիմիապես մաջուր անջուր MnCl₂ և (CH₃) $_2COHC \equiv CCH_2CH_2N(CH_3)_2$ ։

Եռաբուկ կլորահատակ կոլրալի ժեջ, որին ժիացած են եղել ժեխանիկական խառնիչ, հետադարձ սառնարան և կաթեցնող ձագար, լցրել ենք բացարձակ էթանոլ, ավելացրել 3,2 գ անջուր ժանգանի քլորիդ։ Մանգանի
քլորիդը լուծվելուց հետո, լուծուլթեն անընդհատ խառնելով, կաթեցնող ձագարից դանդաղ ավելացրել ենք աժինաացետիլենալին սպիրտը։ Նստվածքը
ֆիլարել ենք, լվացել էթանոլով, չորացրել սենլակալին ջերժաստիճանուժ։
ֆորձի պալժաններուժ ժիջավալրի pH 5,5։ Գտնված է % Mn 12,66; Cl
15,39: N 6,42. MnCl₂·2C₂H₁₇ON հաշված է % Mn 12,60; Cl 15,95;
N 6,29։

Չոր վիճակում միացությունը դեղնադարչնագույն մանր բլուրեղային է, լուծվում է թթունների (քացախաթթվի, մրջնաթթվի, աղաթթվի, ծծմրական թթվի) մեջ, վատ է լուծվում չրի, օրգանական լուծիչների (տալուոլի, բեն-ղոլի, տետրաքլորածխածնի, քլորոֆորմի) և ալկալիների լուծուլթների մեջ։ Քալքալվում է 167°-ում։ Բլուրեղների խտությունը 20°-ում d = 1,153 գ/ամ,

 $Z_{\rm RCl_2} \cdot C_6 H_{11} N \cdot 2 H_1 O_1$ Որպես ելանլութեր օգտագործել ենք $Z_{\rm RCl_2}$ և 1-գիմեթիլամինարուտին-2-ը $C_{\rm H_3}C \equiv CCH_2 N(CH_3)_2$, 6,14 գ մաքուր, անջուր, լավ մանրացված $Z_{\rm RCl_2}$ -ին ,ավելացրել ենք 10 գ 1-դիմեթիլամինա-բուտին-2։ Նկատվում է խառնուրդի ջերմաստիճանի նշանակալից բարձրա-ցում (50°)։ Ստացված գանգվածը չորացրել ենք 70°-ում։ $C_6H_{11}N$ -ի ավելցուկը հեռացնելու հետո կշիռը դարձավ 10,5 գ, որը համապատասխանում է $C_6H_{11}N$ -ի մեկ մոլեկուլի միացմանը և $Z_{\rm RCl_2} \cdot C_6H_{11}N$ բաղադրութլամբ կոմպլեքսալին միացութլան առաջացմանը։ Նլութը բաց վիճակում պահելիս կլանում է խոնավութլուն և վեր է ածվում $Z_{\rm RCl_2} \cdot C_6H_{11}N \cdot 2H_2O$ բաղադրությամբ բլամբ բլուրեղահիդրատի, կշիռը հասնում է 12,1 գ և գուլնը մգանում է

Ստացված միացությունը մանը բլուրեղային բաց չապանակագույն նյութ է, վատ է լուծվում ջրում, ալկալիներում և օրդանական լուծիչներում (բենզոլում, բլորոֆորմում, անտրաքլորածխածնում, էթանոլում), լուծվում է թթուների մեջ։ Ջրի դոլորջիներ կլանևլուց հետո դանված է % Zn 24,27; Cl 26,33; N 5,09; C 26,73, ZnCl₂·C₆H₁₁N·2H₂O, հաշված է % Zn 24,70;

Cl 26,81; N 5,3; C 26,34,

Տաջ ացնելիս (մինչև 100°) հեռանում են ջրի մոլեկուլները (բաց վիճակում թողնելիս միացությունը նորից կլանում է կորցրած ջուրը). 100°-ից բարձր ջերժաստիճաններում նյութը սկսում է քալջալվել և ստացվում է խեժանման զանգված։ 70°-ում չորացված նյութի բաղադրությունն է՝ դանված է 0/0՝ Zn 28.08, Cl 30,40; N 6,30; ZnCl₂·C₈H₁₁N. հաշված է 0/0՝ Zn 28,08; Cl 30,10; N 5,95:

թիկլ։

Ստացված կոմպլեջսալին միացությունների ինֆրակարմիր սպեկտրագրամների համեմատությունը ելանյութերի սպեկտրների հետ ցուլց տվեց,
որ եռակի կապի վալենտական տատանումների մարզում հաճախականուժ է
հասկի կապի «-էլեկտրոնների հաշվին։ Կոմպլեջսագոլացումն ընթանում է
հանդես են դուս է։ Այդ հաստատում է, որ կոմպլեջսագոլացումն ընթանում է
հանդես են դայիս արուս արոտի ազատ էլեկտրոնները, առաջացնելով կալուն
հանդես են դայիս նաև ազոտի ազատ էլեկտրոնները, առաջացնելով կալուն

Ստացված միացութլուններում պարունակվող միկրոէլեմենտները՝ Հո, Mn, Տանդես են գալիս ալկալիներում չլուծվող խելատային միացությունների ձևով և հավանաբար կարող են հանդիսանալ միկրոպարարտանլութեր։

phenyb apameter anyminating

Ummgdmb & 17 X 1964

Комплексные соединения хлоридов магния и цинка с ненасыщенными лигандами

С. Н. Авакян и С. В. Воскерчян

Резюм'е

Получены новые комплексные соединения хлористого марганца с диметил-(4-диметиламинобутил-1) карбинолом $MnCl_{2} \cdot 2C_{6}H_{17}ON$ и хлористого цинка с 1-диметиламинобутином-2, $ZnCl_{2} \cdot C_{6}H_{11}N$, $ZnCl_{2} \cdot C_{10}H_{11}N \cdot 2H_{2}O$.

Изучение инфракрасных спектров полученных соединений показало, что комплексообразование происходит за счет ацетиленовой связи органического лиганда и свободной электронной пары азота.

ЛИТЕРАТУРА

- 1. А. Гельман. "Комплексные соединения платины с ненасыщенными молекулами", Москва—Ленинград, 1945.
- 2. С. Авакян, Р. Карапетян, Р. Эминян, Изв. АН АрмССР, ХН, 16, 124 (1963), С. Авакян, Р. Закарян, ЖОХ, 33, 3364 (1963), С. Авакян, Р. Карапетян, ЖНХ, 8, 1803 (1964).
- 3. Отчет о работе VII всемирного конгреса почвоведов США г. Мадисон, 1960 г.

XIX, № 1, 1966

УДК 541.49+546.151+546.59

Исследование реакций восстановления и комплексообразования золота (III), селена (IV) и теллура (IV)

I. Взанмодействие волота (III) с нодидом

В. М. Тараян, Г. Н. Шапошникова и Е. Н. Овсепян

Методами потенциометрического титрования, электропроводности и гетерометрии показано, что реакция между золотом (III) и иодидом протекает с образованием труднорастворимого осадка AuJ, согласно реакции:

$$AuCl_4^- + 2J^- = Au^+ + J_2 + 4Cl^-$$

 $Au^+ + J^- = AuJ.$

Методами электропроводности и гетерометрии установлено, что образовавшийся в начальном этапе взаимодействия золота (III) и нодида осадок AuJ далее полностью растворяется, переходя в соответствующее комплексное соединение. Реакция протекает по схеме: $AuJ + 5J^- = [AuJ_{\bullet}]^{5-}$. Процесс комплексообразования наблюдается в широком интервале кислотности, вплоть до pH равном 10.

Подавляющее большинство методов разделения и определения соединений селена и теллура основано на восстановлении их до элементарного состояния. Из сопутствующих элементов мешают наиболее электроположительные, также с легкостью принимающие участие в реакциях восстановления или же образующие различные селениды и теллуриды. Чаще всего приходится считаться с присутствием золота, причем, как при определении микроколичеств селена и теллура в сульфидных рудах и минералах, так и при определении макроколичеств этих элементов в анодных электролитных шламах. Применяются также реакции дробного восстановления селенистой кислоты иодидом калия, тиомочевиной и т. д. Теллуристая кислота остается при этом в растворе, образуя растворимые комплексные соединения. Поведение золота (III) при его одновременном присутствии в литературе не рассматривается. Состав переходящих в фильтрат соединений теллура достоверно не указан.

В этой связи становится необходимым систематическое исследование реакций соединений золота (III), селена (IV) и теллура (IV) с различными восстановителями и комплексообразователями. Требуется выяснить состав образующихся соединений в зависимости от условий, при которых они образуются, и в первую очередь, от кислотности исследуемого раствора и концентрации реагирующих компонентов.

Это, по-видимому, позволит найти оптимальные условия для вышеупомянутых разделений и определений, а также попутно будет способствовать определению состава образующихся соединений.

Данная статья посвящена исследованию реакции иодида калия с золотом (III).

Взаимодействие золота (111) с иодидом. Схема реакции соединений золота (III) с иодид-ионом приводится в литературе в двух вариантах. Согласно первому [1] золото, восстанавливаясь до одновалентного состояния, образует соответствующий иодид

$$AuCl_3 + 3KJ = AuJ + J_2 + 3KCl$$

Согласно второму толкованию этой реакции [2] процесс взаимодействия Au (III) с иодидом приводит к образованию одновалентного хлорида золота

$$AuCl_2 + 2KJ = AuCl + J_2 + 2KCl.$$

При этом вопрос о влиянии кислотности и избытка иодида на ход реакции, представляющий несомненный интерес [3], не рассматривается.

Исследование проводилось с использованием трех различных физико-химических методов: потенциометрического титрования, метода измерения электропроводности и гетерометрии. Применялись золото металлическое х. ч. и перекристаллизованный иодид калия. Соответствующие растворы готовились из указанных реактивов растворением определенной навески и последующим определением молярности раствора: золота (III) — меркуроредуктометрическим методом [4], а иодида калия — аргентометрическим методом Фаянса (индикатор флюоресцеин).

Исследование системы Au (III)— Ј методом потенциометрического титрования. Измерения проводились на потенциометре ППТВ-1. Индикаторным электродом служила платиновая пластинка поверхностью в 1 см², а электродом сравнения — насыщенный каломельный электрод. Кислотность раствора предварительно регулировалась с помощью рН-метра ЛП-58.

В сосуд для титрования помещалось 5 мл 0,0047 М раствора Au (III), объем до водился водой до 100 мл и добавлением разбавленного раствора NH₄OH устанавливалось заданное значение рН. Титрование проводилось 0,05 М раствором иодида калия. Результаты одного из подобных титрований (при рН=2,25) приведены на рисунке 1.

Кривая титрования характеризуется очень четким скачком в конечной точке титрования. Затрата раствора иодида калия соответствует стехиометрическому уравнению реакции:

$$AuCl_4 + 3J = AuJ + J_2 + 4Cl$$

или вернее реакция протекает в две стадии:

$$AuCl_4^- + 2J^- = Au^+ + J_2 + 4Cl^-.$$

 $Au^+ + J^- = AuJ$

При повышении концентрации кислоты как в солянокислом, так и в сернокислом растворе (до 1,0 н) приведенная схема реакции четко воспроизводится. С повышением рН раствора золота скачок потенциала в конечной точке титрования, постепенно уменьшаясь, совершенно исчезает при рН 4,0—4,50.

Кроме отмеченного выше скачка потенциала, второго скачка от добавления дальнейшего избытка иодида отметить не удалось, хотя образовавшийся осадок AuJ растворялся в избытке иодида калия с: образованием соответствующего комплексного соединения.

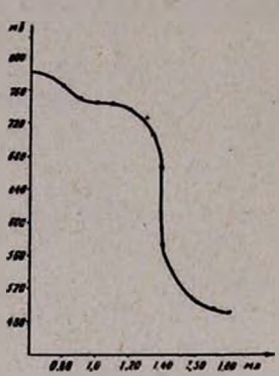


Рис. 1. Кривая потенциометрического титрования Au (III) иодидом, (pH=1-2).

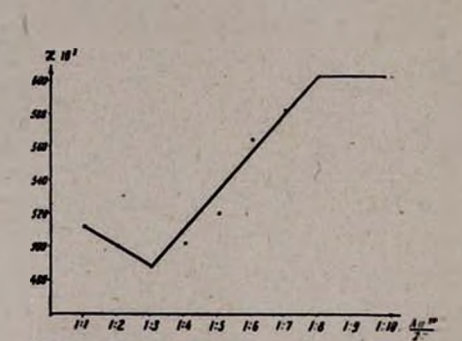


Рис. 2. Кривая изменения электропроводности в системе Au (III)— J^- (pH==1-2).

Исследование системы Au (III)—Ј методом измерения электропроводности. Для измерения применялся реохордный мост Р-38. Расстояние между платиновыми электродами в электролитической ячейке равнялось 10 см. Опыты проводились с изомолярными растворами золота (III) и иодида следующим образом: объем раствора золота (III) сохранялся постоянным, а объем раствора подида постепенно возрастал; был охвачен интервал отношений изомолярных растворов золота (III) и иодида калия от 1:1 до 1:10. Конечные объемы исследуемых растворов во всех случаях водой доводились до 25 мл, после чего измерялась их электропроводность.

Полученные кривые электропроводности смеси растворов золота (III) и иодида калия представлены на рисунке 2.

Излом кривых электропроводности наблюдается при соотношении золота (III) к иодиду 1:3 и 1:8. Из этого следует, что методом электропроводности отмечается момент завершения реакции:

$$AuCl_4^- + 3J^- = AuJ + J_2 + 4Cl^-$$

и реакции комплексообразования между осадком AuJ и избытком иодида калия, протекающей по схеме:

$$AuJ + 5J^{-} = [AuJ_6]^{5-}$$

Дальнейшее добавление иодида не вызывает заметных изменений в значениях электропроводности смеси указанных растворов.

Указанное растворимое комплексное соединение образуется в широком интервале значений рН от 1 вплоть до 10 и при кислотности 0,5, 1 и 2 н.

Исследование системы Au (III)—Ј методом гетерометрии. Принцип метода заключается в измерении оптической плотности суспензий, образующихся при постепенном добавлении раствора иодида калия к раствору золота (III). Перед измерением исследуемые растворы приводились к одному и тому же конечному объему. На гетерометрических кривых отмечаются критические точки: начального помутнения, максимума оптической плотности суспензии и полного растворения осадка. Молярные отношения компонентов, соответствующие критическим точкам, указывают на состав растворимых и нерастворимых соединений [5].

Измерения осуществлялись на фотометре Пульфриха. Для того, чтобы избежать влияния светопоглощения свободного иода, имеющего максимум оптической плотности в видимой области спектра при

длине волны в 465 ммк, был использован светофильтр № 4 указанного фотометра (533 ммк), нейтральный по отношению к светопоглощению растворов иода. В качестве испытуемых служили растворы, полученные смещением в мерной колбе 1 мл 0,042 М раствора золота (III) и различных количеств 0,01 М раствора иодистого калия, соответствующие молярным соотношениям 1:1, 1:2, 1:3 и т. д. до 1:10 (рН —

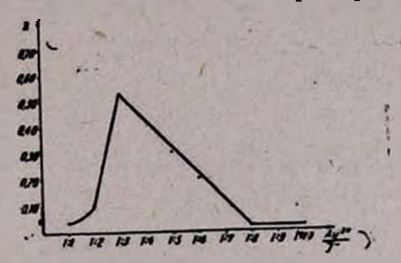


Рис. 3. Изменение оптической плотности в системе Au (III).— J^- (pH = 1—2).

=1-2). Результаты показаны на рисунке 3. Максимум оптической плотности суспензии, указывающий на состав образовавшегося осадка, наблюдается при соотношении 1:3 (рис. 3).

С дальнейшим добавлением иодида оптическая плотность, постепенно уменьшаясь, практически сходит на нет, и муть, соответственно, полностью исчезает, что наблюдается при соотношении золота (III) к иодиду 1:8. Вторая критическая точка соответствует составу образовавшегося растворимого комплексного соединения золота (III) с иодидом.

Таким образом, метод гетерометрии, подобно методу электропроводности, регистрирует момент завершения реакции образования труднорастворимого осадка AuJ и растворимого иодистого комплекса одновалентного золота $[\mathrm{AuJ}_a]^{5-}$.

Ереванский государственный университет кафедра аналитической химии

ՈՍԿՈՒ (III), ՍԵԼԵՆԻ (IV) ԵՎ ՔԵԼՈՒՐԻ (IV) ՎԵՐԱԿԱՆԳՆՄԱՆ ԵՎ ԿՈՄՊԼԵՔՍԱԳՈՅԱՑՄԱՆ ՌԵԱԿՑԻԱՆԵՐԻ ՀԵՏԱԶՈՏՈՒՄԸ

I, Ոսկու (III) փոխագղեցությունը յողիդի հետ

վ Մ. Թառայան Գ. Ն. Շապոշնիկովա և Ե. Ն. Հովսեփյան

Udhahaid

Գոտենցիոմետրիկ տիտրման, էլիկտրահաղորդականության և հետևրոմետրիկ մեթոդներով հաստատված է, որ ինչպես ուժեղ թթվային, ալնպես էլ թույլ թթվային միջավայրերում լոդիդի և ոսկու (III) ռեակցիան ընթանում ոսկու (I) լոդիդի դժվարալուծ նստվածքի առաջացմամր՝

$$AuCl_4^- + 2J^- = Au^+ + J_2 + 4Cl^-$$

 $Au^+ + J^- = AuJ$

Էլեկտրահաղորդականության և հետերոմետրիայի մեթոդներով հաստատված է, որ ոսկու և լոդիդի փոխազդեցության սկզբում գոլացած նստվածքը՝ AuJ հետագալում ամբողջությամբ լուծվում է, վերածվելով համապատասխան կոմպլեքսալին միացության։ Ռեակցիան ընթանում է հետևլալ սխեմալով

 $AuJ + 5J^- = [AuJ_6]^{5-}$

գողանի հոտեսիանուղը միավուղ է ինկունքար նաև իրարևվանուղ, դիրչը pH = 10:

ЛИТЕРАТУРА

- H. Peterson, Z. anorg. Chem. 19, 59 (1899); V. E. Herschlag, Ind. Eng. Chem. 13, 561 (1941).
- V. Lenher, J. Am. Chem. Soc. 35, 733 (1913); K. K. Someya, Z. anorg. Chem. 187, 357 (1930).
- 3. F. E. Beamisch, Talanta 8, 85 (1961).
- 4. В. М. Тараян, Меркуроредуктометрия, Ереван, Изд. Ер. Госуниверситета, 1958.
- 5. M. Bobtelsky, Heterometry, Elsevier Publ. Cor. Amsterdam, 1960.

XIX, № 1, 1966

УДК 546.719+546.77

О состоянии ионов молибдена (VI) и рения (VII) в растворах

Д. С. Гайбакян и М. В. Дарбинян

Метод электрофореза на бумаге подтверждает образование положительных ионов молибдена в слабокислой среде рН < 2,15 наряду с отрицательными. Определены примерные границы перехода анионной формы в катионную. В сильнокислой среде С_{Н+} > 4 н подтверждается образование хлоридных анионных комплексных ионов молибдена.

Наблюдается некоторый сдвиг ионов рения в сторону катода при $C_{H^+} > 6$ н HCl. По всей вероятности, рений в такой сильнокислой среде частично находится в виде катиона.

Разработаны два варианта разделения этих ионов на бумаге электрофотометрическим методом.

Состоянию молибдена (VI) в растворах посвящено довольно большое число работ. Нахождение молибдена, главным образом, в форме аниона MoO_4^{2-} при pH > 7 уже доказано. Не вызывает сомнения также образование катионных форм молибдена в сильнокислых растворах $pH \ll 1$. Большинство авторов предполагает в этих условиях существование ионов молибденила MoO_2^{2+} [1]. Имеется предположение о существовании более сложного катиона [$MoO_2(MoO_3)_{x-2}$]²⁺ [2].

По состоянию Мо (VI) в слабокислой среде литературные данные расходятся. Некоторыми авторами доказано образование анионов парамолибдата Мо $_7$ О $_{24}^6$ [3]. Другие исследования указывают на образование положительного иона МоО $_2^2$ + также в слабокислой среде [4].

Состояние семивалентного рения в растворах мало изучено. Имеется только предположение [5] об образовании положительного иона ReO_3^+ в сильнокислой среде.

В наших предыдущих работах [6] была исследована сорбция Мо (VI) и Re (VII) на катионите КУ-2 и анионитах АН-1, ЭДЭ-10П, АВ-16, АВ-17, АВ-18 и АВ-27 в интервале кислотности среды от 0,00001 н до 12 н соляной кислоты и щелочности от 0,05 н до 5 н NaOH и в среде некоторых кислот комплексообразователей — винной, лимонной, щавелевой, уксусной и фосфорной.

В настоящее время изучение сорбции элементов ионообменными смолами позволяет делать выводы о состоянии элементов в растворах, однако, это связано с некоторыми затруднениями; поэтому более надежным методом исследования знака заряда и состояния ионов в растворе считается метод электрофореза на бумаге [7].

Целью настоящей работы было детальное исследование состояния Мо (VI) и Re (VII) методом электрофореза на бумаге, определение примерных границ изменения зарядов ионов молибдена и рения, а также разработка новых вариантов разделения этих ионов вышеуказанным методом.

Методика электрофореза на бумаге изложена в нашей работе [8]

Полученные данные приведены в таблице 1.

Таблица I
Заряд ионов рения и молибдена в среде различной концентрации соляной кислоты и едкого натра (метод электрофореза на бумаге)

Концентрация	Заря	вонон д	Усло	вия опытов	Длина пробега с места нанесения в см			
соляной кис- лоты и едкого натра в г-экв/я и рН	Мо	Re	напряжение в вольтах	время в часах	Мо	Re		
0,01 NaOH 0,0001 NaOH pH = 5,8 pH = 5,0 pH = 2,46 pH = 2,15 pH = 1,50 pH = 1,14 0,5 HC1 1,0 HC1 2,0 HC1 4,0 HC1 6,0 HC1	отрицат. переход. положит. переход. отрицат.	отрицат. переход. положит.	400 350 350 350 400 400 400 350 350 120 75 50 40	20 минут 1,0 1,0 1,0 1,0 1,0 1,0 1,0 2,0 2,0 3,0 3,5 6—8,0	0 -5,5 0,5-6,0 1,5-5,5 2,2-4,2 4 -6,0 - 1,3-2,7 1,0-2,2 1,0-2,5 1,0-2,0 1,0-2,5 - 0 -1,2	1,0— 4,5 1,2— 5,8 2,2— 6,8 2,6— 6,4 2,0—11,0 4,2— 8,1 1,5— 2,9 2 — 4,0 3 — 4,5 2 — 3,0 3 — 4,5		

Данные таблицы показывают, что начиная с значения pH=2,15 анионная форма молибдена постепенно переходит в катионную и при значении pH=1,5 уже преобладает катионная форма его. При концентрации водородных ионо в > 4 н образуются хлоридные анионные комплексные ионы молибдена, исследование точного состава которых будет предметом дальнейших наших исслед ований.

Что касается рения, то в интервале значении рH=6 до 4 н раствора HCI он находится в форме анионов ReO_4 , а при концентрации 6 н HCI наблюдается некоторый его сдвиг в сторону катода ввиду очень низкого градиенда диффузии в такой сильнокислой среде. Предполагаем, что рений, по всей вероятности, частично находится ввиде катиона.

Была исследована также возможность разделения молибдена и рения на бумаге методом электрофореза; оно может быть выполнено в течение одного часа, при напряжении 350 вольт, используя в качестве электролита 0,05—1,0 н раствор соляной кислоты. Лучшей средой из всех испытанных оказалась 0,1—0,5 н НСІ. В этих условиях, вследствие различия зарядов у этих ионов, молибден передвигается

на 1-2.5 см от места нанесения в сторону катода, а рений на 3-4.5 см в сторону анода.

Используя различие в скоростях передвижения ионов MoO_2^{2+} и ReO_4^- на бумаге, нам удалось количественно их разделить. В среде 0,005 и HCI при напряжниии 400 вольт в течение 1 часа ReO_4^- перемещается на 8-11 см, а MoO_4^{2-} —всего на 4-6 см от места нанесения.

Ереванский государственный университет Кафедра аналитической химии

Поступило 31 XII 1964

LՈՒԾՈՒՅՔՆԵՐՈՒՄ ՄՈԼԻԲԴԵՆԻ (VI) ԵՎ ՌԵՆԻՈՒՄԻ (VII) ԻՈՆՆԵՐԻ ՎԻՃԱԿԻ ՄԱՍԻՆ

Դ. Ս. Գայբակյան և Մ. Վ. Դաբբինյան

Udhahaid

Բավարար չափով ապացուցված է, որ pH ≥ 7 միջավալրում մոլիբ-դենը (VI) դտնվում է անիոնալին ձևով։ Կասկած չի առաջացնում նաև pH ≤ 1-ում MoO₂+ իոնների առկալուԹլունը լուծուլԹներում։ Սակալն Թուլլ ԹՈվալին միջավալրում մոլիբդենի վիճակի մասին տվլալները խիստ տար-բեր են։ Գրական տվլալները լուծուլԹներում ռենիումի վիճակի ուսում-նասիրուԹլան վերաբերլալ անչափ սահմանափակ են։

Սուլն աշխատության նպատակն է հղել Թթու և հիմնալին լուծուլթնեթում մոլիրդենի (VI) և ռենիումի վիճակի մանրազննին ուսումնասիրությունը թղթյա էլնկտրաֆորեզի մեթոդի կիրառումով։ Ուսումնասիրությունների տվյալները բերված են 1 աղյուսակում։

միջավալրում։

C_{H+} > 6 Ն. HCl-ի միջավալրում նկատվել է ռենիումի որոշ տեղաջարժ դեպի կաթոդը։ Ենթադրվում է ուժեղ թթվալին ալդ մարզում դրականապես լիցքավորված ռենիումի իոնի գոլությունը։

Առաջարկված է ԹղԹլա էլնկտրաֆորեզի մեթրոդով մոլիբդենի (VI) և ռենիումի (VII) բաժանման երկու վարիանտ։

ЛИТЕРАТУРА

- 1. А. К. Бабко, Б. И. Набиванец, ЖНХ 2, 2085, 2096 (1957).
- 2. M. Jones, J. Am. Chem. Soc. 76, 4233 (1954).
- 3. J. Byé, Ann. chim. 20, 463 (1945). J. Evans, J. Am. Chem. Soc. 70, 129 (1948).

- 4. G. Jander, K. Jahr, W. Houkeshoven, Z. anorg. Chem. 194, 391 (1930).
- 5. R. Geyer, Z. anorg. Chem. 263, 47 (1950).
- 6. М. В. Дарбинян, Д. С. Гайбакян, Изв. АН АрмССР, ХН, 15, 217, 321, 5 (1962), 18, 335 (1963).
- 7. Б. И. Набиванец, Л. И. Кудрицкая, Укр. хим. ж. 29, 586 (1963).
- 8. Д. С. Гайбакян, М. В. Дарбинян, Изв. АН АрмССР, ХН 17, 501 (1964).

XIX, № 1, 1966

УДК 543.544.45

Влияние некоторых факторов на эффективность колонок с тремя новыми носителями

С. А. Мелконян и С. А. Вартанян

В продолжение работы, в которой было показано, что туфы анийского (ТА₁), аванского (ТА₂) и артикского (ТА₃) месторождений Армянской ССР с успехом могут применяться в газо-жидкостной хроматографии в качестве твердых носителей неподвижной фазы, исследовано влияние количества неподвижной фазы, размеров частиц и перепада давления на эффективность хроматографических колонок, заполненных тремя новыми носителями ТА₁, ТА₂, ТА₃. Показано, что эффективность данных колонок увеличивается при уменьшении количества неподвижной фазы и размера частиц и, что существенной разницы между тремя исследованными носителями нет и они с успехом могут быть применены в газо-хроматографической практике.

Недавно нами было показано [1], что туфы анийского (ТА₁), аванского (ТА₂) и артикского (ТА₂) месторождений Армянской ССР с успехом могут быть применены в газо-жидкостной хроматографии в качестве носителей жидкой неподвижной фазы.

Детальное изучение этих материалов показало, что они соответствуют всем требованиям, которые предъявляются к твердому носителю в газо-хроматографической практике, т. е. они обладают достаточной макропористостью для обеспечения необходимой скорости поглощения адсорбируемого вещества, инертны и не вызывают каталитических изменений исследуемых соединений, легко поддаются обработке, сыпучи и т. д. Было необходимо дальнейшее изучение этих материалов с целью выявления различных факторов, таких как размер частиц, количество жидкой фазы, перепад давления и т. д. на эффективность колонок, заполненных этими тремя носителями.

В литературе известно достаточное число работ, в которых рассматривается эффективность колонок с различными твердыми носителями в различных условиях заполнения [2], в свете уравнения ван Деемтера, Зюйдервега, Клинкенберга [3] для высоты теоретической тарелки ВЭТТ(Н). Известен также ряд работ, в которых в качестве характеристики эффективности хроматографической колонки выбрана степень разделения (К_с) или коэффициент (а) разделения [4].

Нами, для оценки эффективности выбран второй способ. Как показывает практика газовой хроматографии, не всегда высокое значение числа теоретических тарелок (ЧТТ) обеспечивает достаточно четкое разделение пиков. В таких случаях более важными факторами, являются коэффициент и степень разделения.

Экспериментальная часть

Работа проводилась при 70° С с пламенно-ионизационным детектором [5]. Регистрирующая система состояла из усилителя постоянного тока на лампе 6Н2П и самопишущего потенциометра ЭППО9-2М со шкалой на $10\,mV$ (вся шкала за 1 сек.). В качестве газа-носителя применялся продажный азот. Давление на входе колонки регулировалось в несколько стадий; сначала вентилем баллона, затем регулятором давления. Скорость потока измерялась по выходе из колонки. Неподвижной фазой служил диоктилфталат из набора "Растворителей для хроматографии".

Широкие по зернению фракции исследуемых туфов TA₁, TA₂ и TA₃ приготовлялись путем просеивания, тщательно промывались во-

дой и высушивались при 300°C до постоянного веса.

Сорбент для заполнения колонки приготовляли, растворяя неподвижную фазу в таком количестве диэтилового эфира, чтобы полностью покрыть взятое количество твердого носителя. После стояния в течение ночи растворитель отгоняли при уменьшенном давлении, с встряхиванием через известные промежутки времени, чтобы жидкая фаза равномерно распределялась на поверхности носителя.

Характеристика заполнения колонок

Таблица 1

100		актеристик	а заполнения кол	онок	
№ колонки	Вес. °/ _• непод- вижной фазы	Носитель	Размер частиц, мм	Вес материала, заполняющего колонку, г	Плот- ность набивки г/мл
1TA. 2TA. 3TA.		TA ₁	0,1 -0,25 0,25-0,5 0,5 -1,0	22,0 20,8 20,5	0,807 0,80 0,78
1TA ₂ 2TA ₂ 3TA ₂	5	TA ₂	0,1 —0,25 0,25—0,5 0,5 —1,0	27,3 27,0 22,55	1,12 1,0 0,95
1TA, 2TA, 3TA,		TA ₃	0,1 -0,25 0,25-0,5 0,5 -1,0	28,0 25,3 23,0	1,016 1,0 0,97
11TA, 12TA, 13TA,		TA,	0,1 -0,25 0,25-0,5 0,5 -1,0	22,5 22,0 21,0	0,85 0,84 0,778
11TA, 12TA, 13TA,	10	TA ₂	0,1 —0,25 0,25—0,5 0,5 —1,0	26,0 25,2 22,0	1,12 1,01 0,952
11TA, 12TA ₃ 13TA ₃	976	TA,	0,1 —0,25 0,25—0,5 0,5 —1,0	27,2 26,7 22,3	1,08 1,06 0,975
21TA ₁ 22TA ₁ 23TA ₁		TA,	0,1 -0,25 0,25-0,5 0,5 -1,0	23,8 22,7 20,6	0,853 0,842 0,796
21TA ₂ 22TA ₁ 23TA ₁	15	TA ₂	0,1 —0,25 0,25—0,5 0,5 —1,0	26,2 24,5 21,3	1,213 1,016 0,96
21TA, 22TA, 23TA,	184	TA,	0,1 —0,25 0,25—0,5	25,7 24,0 22,0	1,113 1,092 0,946

Применялись стеклянные U-образные колонки размером 200 \times 0,4 см. В таблице 1 приведены характеристики заполнения колонок. Как видно из этой таблицы, плотность набивки убывает с увеличением размера частиц.

Число теоретических тарелок (ЧТТ) определялось по общеизвестной формуле $N=5,54\left(\frac{L}{\omega^{4/3}}\right)^2$ (1), где L — длина от начала до максимума пика, $\omega^{4/3}$ — ширина пика на половине расстояния до вершины пика.

Коэффициент разделения (а) был вычислен из соотношения $a=rac{Vg_1}{Vg_2}$ (2), где Vg_1- удерживаемый объем первого компонента, Vg_2- удерживаемый объем второго компонента.

Значения ВЭТТ были получены делением общей длины колонки на ЧТТ (N), ВЭТТ $=\frac{1}{N}$ (3), где l—общая длина колонки, N—число теоретических тарелок.

Результаты

При описании результатов измерений эффективности приняты за основу коэффициенты разделения (a), полученные из уравнения (2), которые суммированы в таблице 2.

Таблица 2
Значение ВЭТТ, ЧТТ и а для различных условий заполнения

колонки	Время удержи- вания, сек.				Число теоретиче- ских тарелок, ЧТТ			та теорих тар ЭТТ, с.	елок,	Коэффициент разделения		
% KO.	C.H.4	C,H16	C.H.	C.H1.	C,H,,	C ₀ H ₁₀	C.H.4	C,H1.	C _a H _{1a}		C,H,, C,H,,	C.H C.H
A	1	2	3	4	5	6	7	8	9	10	11	12
1TA,	180	450	1206	99,5	277,7	319	2,0	0,72	0,62	0,4	0,373	
2TA,	63	108	198	87,1	91,5	121	2,2	2,1	1,65	0,583	0,545	
3TA,	18	38	72	64	109	113,6	3,25	1,83	1,76	0,431	0,527	
1TA ₂	126	270	648	125,5	225,5	576	1,59	0,88	0,237	0,466	0,416	
2TA ₃	54	126	297	58	64	87	3,44	3,12	2,37	0,43	0,424	
3TA ₂	18	27	63	33,6	64	64	5,94	3,12	3,12	0,66	0,43	
1TA, 2TA, 3TA,	234 63 26	522 144 64		300 108 58	900 113 64	1600 231 66	1,84	0,222 1,75 3,12	0,126 0,865 3,0		0,415 0,412 0,5	
11TA,	252	558	1440	196	427	1968	3,12	0,468	0,1	0,451	0.387	0,17
12TA,	72	162	360	64	64	72		3,12	2,78	0,44	0,45	0,2
13TA,	18	54	108	42,6	56,2	99,5		3,5	2,0	0,33	0,5	0,166
11TA ₂	198	450	1188	214,5	576	843	0,932	0,347	0,237	0,44	0,378	0,166
12TA ₂	72	144	324	64	68	77,5	3,12	2,95	2,52	0,5	0,444	0,22
13TA ₂	18	35	72	41	54	96	4,87	3,7	2,08	0,53	0,47	0,25

Армянский химический журнал, XIX, 1-3

	продолжение таблиць											ицы 2
A	1	2	3	4	5	6	7	8	9	10	11	12
11TA,	234	504	1296	175	347,5	784	1,14	0,575	0,255	0,464	0,36	0,18
12TA,	81	198	540	66	70	81	3,0	2,85	2,1	0,4		0,15
13TA ₃	29	81	139	44	58	98	4,5	3,44	2,02	0,358		0,2
21TA ₁	180	468	1242	79	119	463	2,5	1,18	0,431	0.384	0,376	0,138
22TA ₁	90	252	648	64	96	160	3,12	2,0	1,25	0,375	0,373	
23TA ₁	18	62	123	44	58	97	4,5	3,44	2,0	0,3	0,504	
21TA ₂	223	568	1316	80	162	456	2,5	1,23	0,438	0,392	0,431	
22TA ₂	90	252	540	42	46	88	4,76	4,3	2.6	0,357	0,466	
23TA ₂	22	45	86	29	56	94	6,86	3,57	2,12	0,5	0,52	
21TA,	248	562	1312	88	162	460	2,2	1,23	0,435	0,441	0,42	0,18
22TA,	88	216	608	36	48	90	5,56	4,16	2,23	0,41	0,355	0,13
23TA,	29	99	146	38	56	95	5,23	3,57	2,05	0,3	0,77	0,2

Как видно из рисунка 1, где приведен график зависимости между ВЭТТ и количеством неподвижной фазы для TA_2 и TA_3 , при увеличении количества жидкой фазы ВЭТТ увеличивается линейно. Несколько иная картина наблюдается при носителе TA_1 . В этом случае при увеличении количества неподвижной фазы наблюдается более резкое увеличение значений ВЭТТ.

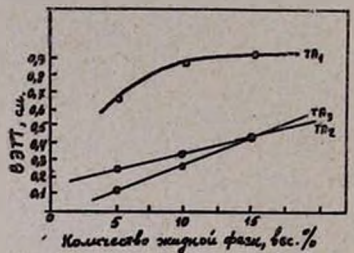


Рис. 1. Зависимость ВЭТТ от количества неподвижной фазы.

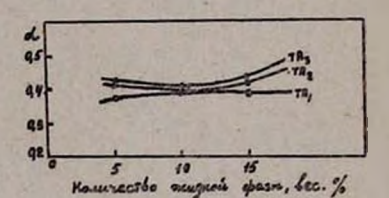


Рис. 2. Зависимость коэффициента разделения от количества жидкой фазы.

Из графика зависимости между коэффициентом разделения и количеством неподвижной фазы (рис. 2) видно, что эффективности колонок в случае всех трех носителей находятся почти в одинаковых областях и резкого различия между тремя носителями не наблюдается.

Влияние размера частиц носителей на эффективность наглядно видно из графика зависимости между коэффициентом разделения и размером частиц носителей (рис. 3). В отличие от случая увеличения количества неподвижной фазы при увеличении размеров частиц носителей при TA_2 и TA_3 эффективность падает линейно. При TA_1 опять наблюдается ухудшение эффективности.

На рисунке 4 приведены хроматограммы нормальных парафинов $C_6 - C_8$ при применении TA_1 , TA_2 и TA_2 в качестве твердых носителей. Как видно из хроматограмм, во всех случаях при небольшом

числе теоретических тарелок имеет место четкое разделение, т. е. высокие значения коэффициентов разделения.

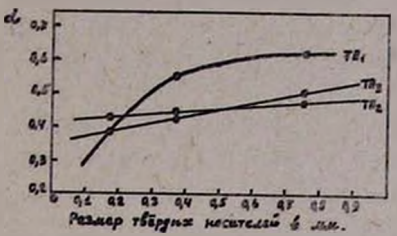


Рис. 3. Зависимость коэффициента разделения от размера частиц носителя.

По мнению ряда авторов [2], при конструктировании колонок, кроме рассмотренных данных по эффективности, необходимо учесть

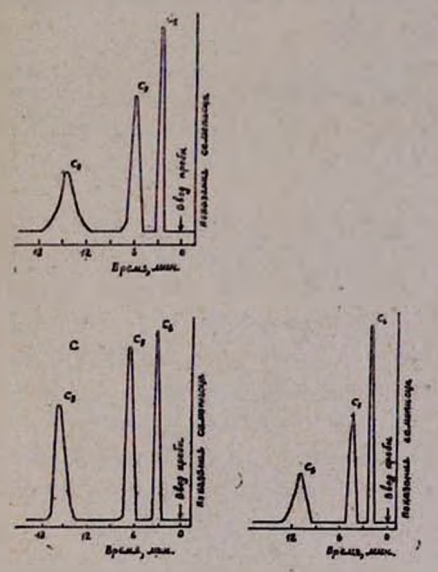


Рис. 4. Хроматограмма смесей нормальных парафинов на различных носителях. Неподвижная фаза дноктилфталат, колонка (200 × 0,4 см). Скорость газа-носителя 80 мл/мин 70°С.

$$a-TA_1$$
; $B-TA_2$; $c-TA_3$.

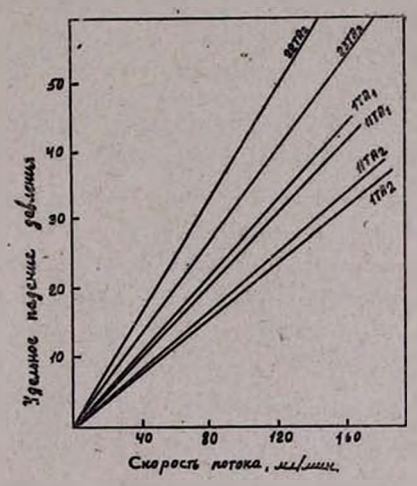


Рис. 5. Удельное падение давления в зависимости от скорости газа-носителя.

сопротивление, оказываемое потоку газа. Авторы под этим подразумевают удельное падение давления (УПД), которое может быть вычислено из экспериментальных данных, согласно формуле:

УПД= $\frac{\text{Общее падение давления (мм рт. ст.)} \times \text{площадь поперечного сечения (мм²)}}{\text{Длина колонки (мм)} \times \text{плотность набивки (г/мл)}}$

Эти величины нанесены на график для всех трех носителей (рис. 5).

Как следует из сопоставления значений коэффициентов разделения, между тремя носителями существенной разницы по эффективности не наблюдается. Все три носителя при меньших значениях размеров частиц и количества неподвижной фазы показывают высокую разделительную способность.

Вероятно, при применении меньших частиц и более узких фракций данных носителей можно будет еще больше увеличить эффек-

тивность колонок, заполненных этими носителями.

Институт органической химии АН АрмССР

Поступило 22 II 1965

ՄԻ ՔԱՆԻ ԳՈՐԾՈՆՆԵՐԻ ԱԶԴԵՑՈՒԹՅՈՒՆԸ ԵՐԵՔ ՆՈՐ ԿՐՈՂՆԵՐՈՎ ԼՑՎԱԾ ՔՐՈՄԱՏՈԳՐԱՖԻԱԿԱՆ ՍՑՈՒՆԱԿՆԵՐԻ ԷՖԵԿՏԻՎՈՒԹՅԱՆ ՎՐԱ

U. S. Մելքոնյան և U. Հ. Վաrդանյան

Luhnhnid

լցված ֆրոմատոգրաֆիական սլունակների էֆեկտիվութլան վրա։ Անիի, Ավանի և Արթիկի հանջավալրերի տուֆերը հաջողութլամբ կարող են կիրառվել գազա-հեղուկալին ֆրոմատոգրաֆիալում որպես անշարժ ֆազի կրողներ, ուսումնասիրված է պինդ կրողի մասնիկի չափսերի, անշարժ ֆազի Ի շարոնակությումների տարբերության ազդեցությունը եթեֆ նոր կրողներով

ջիչ ջանակությամբ հեղուկ ֆազ, ցույց են տալիս բարձր էֆեկտիվությունը և
հեղուկ դանի այսելացումը իջեցնում է սյունակի էֆեկտիվությունը,
իսկ փոջը տրամագծի մասնիկներով լցված սյունակներն իրենց վրա կրելով

ЛИТЕРАТУРА

1. С. А. Вартанян, С. А. Мелконян, ЖПХ (в печати).

I. D. Scott, J. Inst, Petrol., 44, 74 (1958); P. Chovin, Bull. soc. chim. France, 1958, 905; W. I. De Wet, V. Pretorius. Anal. Chem. 30, 325 (1958); Газовая хроматография. Сб. докладов на 2-м Международном симпозиуме в Амстердаме и конференции по анализу смесей летучих веществ в Нью-Йорке, Москва, ИЛ, 1961, 9—25, 25—39, 178—188, 188—202.

3. I. I. Van Deemter, F. I. Zuiderweg, A. Klinkenberg, Chem. Eng. Sci., 5, 271 (1956).

4. D. S. Davis, Chem. and Process Eng., 41, 418 (1960). Н. М. Туркельтауб, А. А. Жуховицкий, Газовая хроматография. Труды первой Всесоюзной конференции. Москва, АН СССР, 1960, 144.

5. I. Harley, W. Nel, V. Pretorlus, Nature, 181, 760 (1958).

XIX, № 1, 1966

ОРГАНИЧЕСКАЯ ХИМИЯ

УДК 547.315.1+547.372

Реакции простых эфиров с ненасыщенными радикалами

IV. Получение ү,ү-дизамещенных алленовых углеводородов заимодействием бутин-2-илалкиловых эфиров с реактивом Гриньяра

Г. М. Мкрян, Ш. Л. Миджоян и С. М. Гаспарям

Показано, что бутин-2-илалкиловые эфиры при нагревании с алкилмагнийбромидами в диизоамиловом эфире образуют соответствующие ү,ү-дизамещенные алленовые углеводороды независимо от алкильного радикала эфира, а также от длины цепи алкильного радикала реактива Гриньяра, с выходами от 43 до 59°/6. Разработанный способ получения ү,ү-дизамещенных алленовых углеводородов выгодно отличается от известных в литературе способов, что позволяет рекомендовать его в качестве лабораторного метода. Реакция образования ү,ү-дизамещенных алленовых углеводородов взаимодействием бутинилалкиловых эфиров с реактивами Гриньяра, вероятно, цротекает по радикальному механизму.

В нашем предварительном сообщении [1] было указано на возможность замещения атомов водорода метиленовой группы в бутин-2-илалкиловых эфирах действием реактива Гриньяра.

Дальнейшее изучение этой реакции показало, что при взаимодействии магнийорганического соединения с бутинилалкиловыми эфирами помимо реакции гриньяровского реагента с метиленовой группой происходит также другая реакция, приводящая к образованию замещенных алленовых углеводородов.

Как известно, алифатические простые эфиры вообще устойчивы по отношению к реактиву Гриньяра и потому применяются как растворители при Гриньяровском синтезе. Однако, в некоторых случаях имеет место расщепление эфирной связи, как это установлено рядом исследователей [2].

Если фенилалкиловые эфиры удается расщеплять при 200—220° почти количественно [3], то в аналогичных условиях чисто алифатические эфиры образуют только следы спирта [4].

Довольно легко реагируют β-ненасыщенные эфиры фенолов и алкилаллиловые эфиры [5].

$$\kappa$$
-C₈H₁₇OCH₂—CH = CH₂ $\xrightarrow{\text{C}_6\text{H}_8\text{MgBr}}$ κ -C₈H₁₇OH + C₆H₅CH₂—CH=CH₂

Хилл и сотрудники [6], исследуя эту реакцию на примере ненасыщенных эфиров с общей формулой R—CH=CH—CH₂OR', предполагали, что реактивы Гриньяра расщепляют указанные эфиры по механизму 1,2 и 1,4 присоединения. В случае $R = C_0 H_0$ реакция представляется идущей по схеме:

$$C_0H_3$$
— CH = CH — $CH_2OC_4H_0$ \longrightarrow C_0H_3 — CH — CH = $CH_2 + C_4H_0OH$

$$C_7H_{15}-Mg-X$$

$$C_7H_{15}$$

В последующем сообщении [7] авторы указывают, что все алкиловые (и ариловые) реактивы Гриньяра, с алкилами меньше, чем и-гептил, реагируют с дизамещенными и незамещенными аллиловыми эфирами, образуя олефиновые углеводороды (15—83%) и насыщенные спирты (23—94%), которые рассматривают, как продукты 1,2-присоединения:

$$R-CH = CH-CH-OR'' \xrightarrow{R'''MgBr} R-CH = CH-CH-R'''+R''OH$$

$$R''$$

а *н*-гептил и октилмагнийбромиды реагируют с т и а,3-замещенными аллиловыми эфирами согласно механизму 1,4-присоединения с образованием шестичленного комплекса, который в дальнейшем, при гидролизе, подвергается бимолекулярному расщеплению с образованием замещенного олефинового углеводорода

$$R-CH = CH-CH-OR'' \xrightarrow{R'' MgBr} \begin{bmatrix} R'' & HC-R' \\ Br-Mg & R''' \end{bmatrix} \xrightarrow{HOH}$$

$$R-CH-CH = CH-R'+R''OH$$

$$R''''$$

Авторы установили, что в условиях реакции указанные эфиры не подвергаются предварительной изомеризации.

Аналогичная реакция эфиров, содержащих тройную связь в β, γ -положении, с реактивом Гриньяра в литературе не описывалась.

Мы подвергли действию Гриньяровского реагента эфиры, содержащие радикалы с тройной связью в β , γ -положении—бутин-2-илалкиловые эфиры общей формулы:

$$CH_3-C\equiv C-CH_2OR,$$
 где $R=CH_3,\ C_2H_5,\ C_3H_7,\ C_4H_9,\ изо-C_5H_{11}$

Реакция проводилась в диизоамиловом эфире при нагревании до 100° с дальнейшим повышением температуры реакционной смеси для полной отгонки продукта реакции.

Изучение продуктов реакции показало, что независимо от длины цепи алкильного радикала R, а также радикала взятого алкилмагний-бромида ($R'=CH_3$, C_3H_5 , C_3H_7 , C_4H_9) получаются γ,γ -дизамещенные алленовые углеводороды и соответствующие насыщенные спирты:

$$CH_3-C\equiv C-CH_2OR+R'MgX \longrightarrow CH_3-C=C=CH_2+ROH$$

Одновременно наблюдается выделение насыщенного углеводорода, который является результатом замещения атомов водорода метиленовой группы остатком реактива Гриньяра [1].

Образование дизамещенного алленового углеводорода представляет новый пример переноса реакционного центра в момент замещения [8].

По нашему мнению, при действии реактива Гриньяра на бутинилалкиловые эфиры, гриньяровский реагент отщепляет алкоксильную группу эфира в результате чего образуются свободные радикалы:

$$CH_3-C \equiv C-CH_2OR + R'MgX \longrightarrow CH_3-C \equiv C-CH_2+R' + ROMgX$$

Образовавшийся бутинил радикал перегруппировывается в более устойчивый радикал CH₃—C=C=CH₂, к которому и присоединяется свободный радикал R', образуя замещенные алленовые углеводороды общей формулы:

$$CH_3-C=C=CH_2$$
 R'
rae $R'=CH_3$, C_2H_5 , C_3H_7 , C_4H_6

Возможно также присоединение остатка магнийорганического соединения к первоначально образующемуся бутинильному радикалу с образованием двузамещенного ацетиленового углеводорода.

Аналогичным механизмом пользовались и другие авторы при объяснении реакции реактива Гриньяра с 1,4-дихлорбутином-2 [9].

Получение замещенных алленовых углеводородов не может быть объяснено через образование комплекса, как это представляют Хилл и сотрудники [7], так' как алленовый углеводород отгоняется из реакционной смеси до ее разложения водой.

ү,ү-Дизамещенные аллены получены с выходами от 43 до 59% теории.

Ожидаемый нормальный продукт реакции — дизамещенный ацетилен отсутствует. Следует отметить, что на отсутствие нормального продукта реакции было указано также Вотицом [10] при получении замещенного аллена взаимодействием 1-бромгептина-2 с фенилмагий-бромидом.

Синтезированы четыре алленовых углеводорода, в том числе 3-метилгептадиен-1,2, полученный впервые. Полученные алленовые углеводороды идентифицированы окислением; при этом образуются соответствующие кетоны и уксусная кислота. Сняты также ИК-спектры, подтверждающие алленовое строение полученных углеводородов.

Разработанный способ получения γ, γ -дизамещенных алленовых углеводородов выгодно отличается от известных до настоящего времени методов, как например, от метода получения действием реактива Гриньяра на ненасыщенные ацетиленовые бромиды [11], а также методов отщепления галоида [12] и галоидоводородных кислот [13]

от галогенидов соответствующего строения с точки зрения доступности исходного продукта и чистоты полученного углеводорода.

Экспериментальная часть

Получение 3-метилпентадиена-1,2. К раствору реактива Гриньяра, полученному из 12 г (0,5 г-атома) магния, 54,5 г (0,5 моля) бромистого этила в 70 мл абсолютного диизоамилового эфира, при перемешивании прибавлялось 70 г (0,5 моля) чистого, свежеперегнанного бутинилизоамилового эфира, полученного по ранее описанной прописи [14] (т. кип. 169,5—170,5° при 680 мм, п²⁰ 1,4350, d²⁰ 0,8323). После подачи всего количества эфира реакционная смесь нагревалась до 113°. В интервале 60-70° наблюдалось выделение газа (этана). При 110-113° наблюдалась конденсация легкокипящего вещества. Для отгонки этого вещества из реакционной смеси капельная воронка заменялась прямоточным холодильником, конец которого был соединен со змеевиковым приемником, охлаждающимся смесью лед-соль. В конце отгонки температура смеси доведена до 160° (почти до температуры кипения диизоамилового эфира). После сушки безводным карбонатом калия отгон фракционировался; при этом выделено 23,5 г (57,2%) вещества, кипящего при 68-69°/680 мм, представляющего собой 3-метилпентадиен-1,2, про 1,4311. Полученные физические константы (см. таблицу) соответствуют данным, приведенным в литературе [15]. ИК-спектр, снятый на приборе ИКС-14, показал наличие только алленовой группировки (ССССССН2) (полоса поглощения при 1955 см-1*).

Оставшаяся в реакционой колбе масса разлагалась ледяной водой в присутствии соляной кислоты, масляный слой отделялся от водного слоя, водный слой экстрагировался эфиром, эфирные вытяжки присоединялись к маслу. После сушки и отгонки эфира фракционированием масляного слоя выделено 26 г изоамилового спирта (т. кип. 126—127° при 680 мм), что составляет 59,1% теории, и 75 мл трудноразделимой смеси диизоамилового эфира с исходным эфиром.

В газгольдере собрано 2,75 мл газа (этана) $(24,6^{\circ}/_{\circ})$, являющегося результатом реакции реактива Гриньяра с метиленовой группой бутинилизоамилового эфира [1].

Аналогично получены диметил-, метилпропил-, метилбутил- аллены действием соответствующего реактива Гриньяра на бутинилизовмиловый эфир. Некоторые аллены получены также из разных бутинилалкиловых эфиров действием соответствующих реактивов Гриньяра.

Физические константы и выходы полученных γ, γ -дизамещенных алленов приведены в таблице. Приведен также анализ 3-метилгептадиена-1,2.

^{*} Спектры сняты в ВНИИПолимер Даниеляном В. А. и Ажанджяном Э. О.

C,H,	C ₃ H ₇		С,Н,	CH ₃	R	CH ₃ —C=C=CH ₃
C ₈ H ₁₄	C ₇ H ₁₂		C _e H ₁₀	C,H,	Состав	
C ₄ H ₀ C ₅ H ₁₁ -n30	С ₄ Н ₆ С ₆ Н ₁₁ -изо	С ₄ Н ₆ С ₅ Н _и -нзо	C.H.	С ₅ Н ₁₁ -изо	æ	CH ₃ —C ≡ C—CH ₂ OR R'MgX
с,н,	C ₃ H ₇		C ₂ H ₄	СН	R	R'MgX
121—123 680	94,5—96		68-69	38—39	B °C	
680	680		680	680	Давление в мм	
	1,4351		1,4311	1,4077	n bo	
1,4392 0,7602	0,7359		0,7297	0,6833	d.20	
38,02	33,93		28,90	24,48	найдено	M
38,21	33,59		28,97	24,36	вычислен	MR _D
87,01	i		1	1	найдено	1,0
87,27	1		1.	1	вычис-	Анализ
87,01 87,27 12,98 12,70	1		1	1	найдено	на С,
12,70	1		1	1	вычис-	I
43,7	47,4 48,3	57,8	50,7	42,7	Выход в	%

CH,-C-C-CH,

Окисление 3-метилпентадиена-1.2. Окислением 3-метилпентадиена-1,2 бихроматом калия в присутствии серной кислоты по известной прописи [16] получен метилэтилкетон с т. кип. $74-74,5^{\circ}$ при 680 мм, $n_{\rm D}^{20}$ 1,3790 [17], семикарбазон которого плавился при $134-134,5^{\circ}$ (лит. данные [18] 134°). Смешанная проба с заведомым семикарбазоном метилэтилкетона не давала депрессии.

Выделена также уксусная кислота, кипящая при $114-116^{\circ}/680$ мм. В аналогичных условиях окислением 3-метилгексадиена-1,2 и 3-метилгептадиена-1,2 получены, соответственно, метилпропилкетон с т. кип. $97-98^{\circ}$ при 680 мм, n_D^{20} 1,3900 [19], семикарбазон которого плавился при $109,5^{\circ}$ (лит. данные [20] 110°), и метилбутилкетон с т. кип. $122-123^{\circ}$ при 680 мм, n_D^{20} 1,415 [21], семикарбазон которого плавился при $117,5^{\circ}$ (лит. данные [22] 118°).

В обоих случаях выделена также уксусная кислота с т. кип. 114—116°/680 мм.

Всесоюзный научно-исследовательский и проектный институт полимерных продуктов (ВНИИПолимер)

Поступило 29 VIII 1964

ՉՀԱԳԵՑԱԾ ՌԱԴԻԿԱԼՆԵՐ ՊԱՐՈՒՆԱԿՈՂ ԵԹԵՐՆԵՐԻ ՌԵԱԿՑԻԱՆԵՐԸ

IV. 7,7-Երկփոխարինված ալենային ածխաջրածինների ստացումը բուտին-2-իլալկիլեթերների և Գրինյարի ռեակաիվի փոխազդեցությամբ

Գ. Մ. Մկրյան, Շ. Լ. Մնջոյան և Ս. Մ. Գասպարյան

Udhahaid

8ուլց է տրված, որ բուտին-2-իլալկիլեթերները դիիզոամիլեթերի միջավայրում ալկիլմագնեզիումբրոմիդների հետ տաջացնելիս առաջացնում են համապատասխան _{7,7}-երկփոխարինված ալենային ածխաջրածիններ, անկախ եթերի և Գրինլարի ռեակտիվի ալկիլալին խմբերի շղթայի երկարությունից, 43—59% ելջով։

Մշակված _{Ղ,Ղ}֊երկփոխարինված ալենալին ածխաջրածինների ստացման եղանակը գերադասելի է գրականության մեջ նկարագրված հղանակներից. այն առաջարկվում է որպես լաբորատոր եղանակ։

Բուտինիլալկիլեներների և Գրինյարի ռեակտիվի փոխազդեցուն լամ բ Հ,դ~երկփոխարինված ալենալին ածխաջրածինների առաջացման ռեակցիան ըննանում է ռադիկալալին մեխանիզմով։

ЛИТЕРАТУРА

1. Г. М. Мкрян, Ш. Л. Миджоян, Н. А. Папазян, С. А. Мелконян, Изв. АН Арм. ССР, ХН 15, 107 (1962).

- 2. А. Е. Чичибабин, ЖРХО, 35, 1284 (1903); Г. А. Стадников, З. А. Кузьмина, ЖРХО, 44, 1247 (1912); А. Е. Чичибабин, С. А. Елгазин, ЖРХО, 46, 39 (1914);
- 3. H. Simonis, P. Remmert, Ber. 47, 269 (1914).
- 4. E. Spath, Ber. 47, 766 (1914).
- A. Lattringhaus, G. Wagner, V. Saaf, E. Sucker, G. Broth, Lieb. Ann. 557, 46 (1947).
- C. M. Hill, L. Havnes, D. E. Simmons, M. E. Hill, J. Am. Chem. Soc., 75, 5408 (1953).
- 7. C. M. Hill, D. E. Simmons, M. E. Hill, J. Am. Chem. Soc., 77, 3889 (1955).
- 8. А. Н. Несменнов, Ученые записки МГУ, вып. 132, Орг. хим., 1950, стр. 7.
- 9. E. Terres. K. Hubbuch, Erdol u. Kohle, XII, Bd. 13, No. 12, 940-946 (1960).
- 10. J. H. Wotiz, C. H. Hollingswort, J. Am. Chem. Soc. 78, 1221 (1956).
- 11. Р. Я. Левина, В. А. Викторова, Усп. хнм., 21, 280 (1952); А. И. Захарова, ЖОХ, 17, 1277 (1947); А. И. Захарова, ЖОХ, 19, 1297 (1949); А. И. Захарова, С. А. Сапожникова, ЖОХ, 22, 1804 (1952).
- 12. L. M. Norton, A. A. Noyes, J. Am. Chem. Soc., 10, 430 (1888); A. E. Фаворский, Ж. И. Иоцич, ЖРХО, 29, 90 (1897); К. Кукуричкин, ЖРХО, 35, 873 (1903); Г. Г. Густавсон, Н. Я. Демьянов, ЖРХО, 20, 625 (1888).
- Алгу, цит. по А. Е. Фаворскому, ЖРХО, 29, 77 (1887); А. Е. Фаворский, А. Марев,
 О. П. Алексеева, ЖРХО, 50, 565 (1918).
- 14. Г. М. Мкрян, Ш. Л. Мнджоян, С. М. Гаспарян, Изв. АН АрмССР, XH 17, 643 (1964).
- 15. V. Ipatjew, J. Pr. Chem. [2] 59, 531 (1899).
- 16. А. Альбицкий, ЖРФХО, 19, 365 (1887).
- 17. I. Timmermans, F. Martin, J. chim. phys., 25, 443 (1921).
- 18. P. H. Pickard, Y. Kenyon, J. Chem. Soc., 103, 1936 (1913).
- 19. F. Chancel, C. r. 99, 1055 (1884); I. Timmermans, C. 1914, I, 618.
- 20. A. Michael, J. Am. Chem. Soc., 41, 419 (1919).
- L. Clarke, J. Am. Chem. Soc., 34, 681 (1912); E. Erlenmeyer, I. A Wanklyn, Lieb. Ann. 135, 145 (1865).
- 22. A. Michael, J. Am. Chem. Soc., 41, 416 (1919).

XIX, № 1, 1966

УДК 542.92+547.233.4

Исследования в области аминов и аммониевых соединений

XXXV. Термическое и щелочное расщепление четвертичных амиониевых солей, содержащих замещенные этильные группы

А. Т. Бабаян, Г. Т. Мартиросян и Д. В. Григорян

На основании результатов расщепления четвертичных аммониевых солей, содержащих 3-метилбутен-2-ильную и замещенные этильные группы, составлены ряды сравнительной легкости отщепления этих групп при термическом и щелочном расщеплении.

На большом ряде примеров было показано, что четвертичные аммониевые соли, содержащие β-цианэтильную группу, очень легко подвергаются как термическому, так и щелочному расщеплению, приводя к образованию акрилонитрила и соответствующих третичных аминов [1].

$$R_3$$
NCH₂CH₂CN \longrightarrow R_3 N + CH₂ = CHCN \overline{X}

С целью изучения влияния других заместителей на реакцию отщепления были синтезированы (см. табл. 1) и подвергнуты термическому и щелочному расщеплению четвертичные аммониевые соли, содержащие следующие замещенные этильные группы:

Результаты термического и щелочного расщепления этих солей приведены в таблице 2.

Как видно из данных таблицы 2, при термическом расщеплении солей II и III отщепляются исключительно замещенные этильные группы, приводя к образованию метилакрилата и метилметакрилата соответственно. Таким образом, сложноэфирная группа, находящаяся в β-положении, как и нитрильная, в сильной степени облегчает отщепление.

$$(CH_3)_2 \stackrel{+}{N} CH_2 CH(R) COOCH_3$$

$$CH_2 CH = C(CH_3)_2 \qquad CH_3 = C(R) COOCH_3 + (CH_3)_2 NCH_2 CH = C(CH_3)_3$$

$$R = H, CH_3$$

$$HCI$$

Согласно полученным данным, при термическом расщеплении эти группы по легкости отщепления превосходят 3-метилбутен-2-ильную [2].

The second		Hannan	% понного галонда	
Исходный амин	Галондопроизводное	Четвертичная аммониевая соль	найдено	вычислено
(CH,),NCH,CH,COOCH,	CICH ₂ CH=C(CH ₃) ₂	(CH ₃) ₂ N CH ₂ CH ₂ COOCH ₃ CH ₂ CH=C(CH ₃) ₃	15,3	15,04
(CH ₃) ₂ NCH ₂ CH(CH ₃)COOCH ₃		(CH ₃) ₂ N CH ₃ CH(CH ₃)COOCH ₃ CH ₃ CH=C(CH ₃) ₂	14,10	14,22
(C ₂ H ₅) ₂ NCH ₂ CH ₂ C ₆ H ₅		CH ₂ CH ₂ C ₆ H ₅ CH ₂ CH=C(CH ₃) ₂	12,66	12,61
(CH ₃) ₂ NCH(C ₈ H ₅)CH ₃		(CH ₃) ₃ N CH ₂ CH=C(CH ₃) ₃	14,20	14,03
(CH ₃) ₂ NCH ₂ CH ₂ C ₆ H ₅	CICH(C ₆ H ₅)CH ₃	(CH ₃) ₂ N CH ₂ CH ₂ C ₆ H ₅ CH(C ₆ H ₅)CH ₃	12,48	12,26

[•] Получена также взаимодействием N,N-диметил-(3-метилбутен-2-ил)амина с хлористым а-фенилэтилом.

Таблица 2
- Термическое и щелочное расщепление четвертичных аммониевых солей

		Выходы в 🐪	
Исходная аммониевая соль	Продукты расщепления	при тер- мич. рас- щепле- нип	
+ CH2CH2CN	CH ₂ =CHCN	96	80
CH ₃) ₂ N CH ₂ CH ₂ CN CH ₃ CH=C(CH ₃) ₂	$(CH_3)_2NCH_2CH=C(CH_3)_2$	81	90
Ci I			
+ CH,CH,COOCH,	CH ₂ =CHCOOCH ₃	86	82
(CH ₃) ₃ N CH ₂ CH ₂ COOCH ₃	$(CH_3)_2NCH_2CH=C(CH_3)_3$	92	89
CI II			
+ 'CH-CH(CH-)COOCH	CH ₂ =C(CH ₃)COOCH ₃	87	20
CH ₂ CH ₂ CH(CH ₃)COOCH ₃ CH ₂ CH=C(CH ₃) ₃	полимер	-	37
	$(CH_3)_2NCH_2CH=C(CH_3)_2$	78	75
III			
CH,CH,CH,C,H,	CH ₂ =CHC(CH ₂)=CH ₂	96	62
CH ₂ CH ₂ C ₄ H ₅ CH ₂ CH ₂ C(CH ₃) ₂	(C ₂ H ₅) ₂ NCH ₂ CH ₂ C ₄ H ₅	93	80
IN	111-113		
	CH ₂ =CHC(CH ₃)=CH ₂	64	75
(CH ₃) ₂ N CH ₆ CH ₅)CH ₃	CH ₂ =CHC ₄ H ₅	11	15
CH ₂ CH=C(CH ₃) ₃	(CH ₃) ₂ NCH(C ₆ H ₅)CH ₃	65	79
V	$(CH_3)_2NCH_2CH=C(CH_3)_2$	7	12
(CH ₁) ₂ N CH ₁ CH ₂ C ₆ H ₅ CH(C ₆ H ₅)CH ₁	CH ₃ =CHC ₄ H ₅	92	87
CH(C,H,)CH,	(CH ₃) ₂ NCH ₂ CH ₂ C ₄ H ₅ *	91	84
VI	1000 0000		
The Late of the La			

^{*} При щелочном расщеплении образуется (CH₃)₂NCH(C₆H₅)CH₃

Интересные результаты получены при термическом расщеплении солей IV и V. Так, при расщеплении соли IV отщепляется исключительно 3-метилбутен-2-ильная группа

$$(CH_3)_2N \xrightarrow{CH_2CH_2C_0H_5} CH_2CH_2C_0H_3 \longrightarrow CH_2 = CHC(CH_3) = CH_2 + (CH_3)_2NCH_2CH_2C_0H_3$$

$$IV$$

$$IV$$

$$HC1$$

в то время, как при расщеплении соли V реакция протекает в двух направлениях, причем в основном имеет место отщепление 3-метилбутен-2-ильной группы (а)

$$(CH_3)_2 \stackrel{+}{N} CH_2 CH = C(CH_3)_2$$

$$CH_3 = CHC(CH_3) = CH_2 \stackrel{+}{(CH_3)_2} NCH(C_eH_5)CH_3$$

$$HC1$$

$$CH_3 = CHC(CH_3) = CH_2 \stackrel{+}{(CH_3)_2} NCH_2 CH = C(CH_3)_3$$

$$CH_2 = CHC_eH_5 \stackrel{+}{+} (CH_3)_a NCH_2 CH = C(CH_3)_3$$

$$HC1$$

Таким образом, по своему влиянию фенильная группа уступает нитрильной и сложноэфирной группам.

Сравнительная легкость отщепления α-фенилэтильной и 3-метилбутсн-2-ильной групп определена также алкилированием метиланилина хлористым диметил-(α-фенилэтил)-(3-метилбутен-2-ил)аммонием; в результате пятичасового нагревания при температуре 140—145° в основном был получен продукт алкилирования 3-метилбутен-2-ильной группой

$$(CH_{3})_{2}^{+} \stackrel{CH_{2}CH=C(CH_{3})_{2}}{CH(C_{6}H_{5})CH_{3}} + C_{6}H_{5}NHCH_{3}$$

$$(CH_{3})_{2}^{+} \stackrel{(CH_{2}CH=C(CH_{3})_{2}}{CH(C_{6}H_{5})CH_{3}} + C_{6}H_{5}NCH_{2}CH=C(CH_{3})_{2}$$

$$(70^{\circ}/_{0}) \qquad (59^{\circ}/_{0})$$

$$(CH_{3})_{2}NCH_{2}CH=C(CH_{3})_{2} + \frac{CH_{3}}{C_{6}H_{5}}NCH(C_{6}H_{5})CH_{3}$$

$$(11^{\circ}/_{0}) \qquad (16^{\circ}/_{0})$$

Интересно было сравнить изучаемые группы друг с другом. С этой целью β-хлорпропионитрил ввели во взаимодействие с диметил- (β-фенилэтил)амином, метиловым эфиром β-диметиламиноизомасляной кислоты и 1-диметиламинобутаноном-3. Однако, вместо ожидаемых четвертичных аммониевых солей были получены хлоргидраты взятых аминов и акрилонитрил. Взаимодействием α-хлорэтилбензола с диметил(β-фенилэтил)амином нам удалось получить соответствующую четвертичную аммониевую соль. Термическое расщепление этой соли привело к образованию диметил-β-фенилэтиламина; следовательно, отщепление стирола произошло за счет α-фенилэтильной группы

$$(CH_3)_2 \stackrel{+}{N} \stackrel{CH_2CH_3C_0H_5}{\longleftarrow} CH(C_0H_5)CH_3 \longrightarrow (CH_3)_2 NCH_2CH_2C_0H_5 \stackrel{!}{\vdash} CH_2 = CHC_0H_5$$

$$HCI$$

а щелочное расщепление привело к образованию диметил(α-фенилэтил)амина: следовательно, в этом случае отщепление стирола произошло за счет β-фенилэтильной группы:

Сопоставлением результатов термического расщепления аммониевых солей, мы получаем следующий ряд сравнительной легкости отщепления:

$$\begin{cases} -CH_2CH_2CN \\ -CH_2CH_2COOCH_3 \\ -CH_2CH(CH_3)COOCH_3 \end{cases} -CH_2CH = C(CH_2)_2 -CH(C_0H_3)CH_3 -CH_2CH_2C_0H_3$$
(A)

Сопоставление результатов щелочного расшепления приводит к следующему ряду сравнительной легкости отщепления:

$$\begin{pmatrix} -CH_2CH_2CN \\ -CH_2CH_2COOCH_3 \\ -CH_3CH(CH_3)COOCH_3 \end{pmatrix} -CH_2CH_2C_6H_5 \end{pmatrix} -CH_2CH = C(CH_3)_2 \end{pmatrix} -CH(C_6H_5)CH_5$$

$$(5)$$

Исходные амины были получены следующим образом: метиловый эфир β-диметиламинопропионовой кислоты и метиловый эфир β-диметиламиноизомасляной кислоты — взаимодействием диметиламина с метилакрилатом и метилметакрилатом в метиловом спирте [3], диметил (β-фенилэтил) - и диэтил (-β-фенилэтил) - амины взаимодействием диметиламина и диэтиламина со стиролом, в присутствии каталитических количеств натрия [4].

Экспериментальная часть

Расщепление хлористого диметил-(3-метилбутен-2-ил)-(3-карбметоксиэтил)аммония (II). а) Термическое. 11,8 г (0,05 моля) соли II нагревали на масляной бане в течение 30 минут. Расщепление началось при 86° , но для ускорения температуру реакционной смеси довели до 120° . При этом отогналось 3,7 г (0,043 моля, 88° /0) метилакрилата с т. кип. $78-80^{\circ}$ /680 мм, $n_{\rm D}^{20}$ 1,4098 [5]. После охлаждения остаток 7,4 г, подщелачили и экстрагировали эфиром. Получено 5,2 г (0,046 моля, 92° /0) 1-диметиламино-3-метилбутена-2 с т. кип. $113-115^{\circ}$ /680 мм. Пикрат плавится при 101° и не дает депрессии температуры плавления с известным образцом [6].

б) Щелочное. К 11,8 г (0,05 моля) соли ІІ добавили 4 г едкого натра в 11 мл воды. Сразу происходит расщепление, и реакционная смесь расслаивается. Для обеспечения полноты расщепления реакционную смесь экстрагировали эфиром, а остаток нагревали на водяной бане в течение одного часа и снова экстрагировали эфиром. Титрацией в эфире найдено 0,04471 моля амина (89,4%). Эфирный экстракт подкислили соляной кислотой, верхний слой отделили, пропустили в него 6 г диметиламина и оставили стоять в течение четырех дней. Перегонкой получено 5,4 г (0,0412 моля, 82,4%) метилового эфира β-диметиламинопропионовой кислоты с т. кип. 151—154°/680 мм про 1,4215 [3].

Солянокислый слой подщелачили и экстрагировали эфиром. Получено 3,5 г (0,0334 моля, 65%) 1-диметиламино-3-метилбутена-2 с т. кип. 113—115°/680 мм. Пикрат плавится при 100° и не дает депрессии температуры плавления в смеси с известным образцом.

Расщепление хлористого диметил-(3-метилбутен-2-ил)(3-карбметоксилпропил)-аммония (III). в) Термическое. Опыт проводили аналогично первому. Расщепление началось при 125°, температуру реакционной смеси подняли до 150°. Из 33,2 г (0,133 моля) соли III получено 12,1 г метилметакрилата (0,116 моля, $87,2^{\circ}/_{\circ}$) с т. кип. $100^{\circ}/680$ мм, n_D^{20} 1,4149 [7] и 11,3 г (0,104 моля, $78,1^{\circ}/_{\circ}$) 1-диметиламино-3-метилбутена-2 с т. кип. $113-115^{\circ}/680$ мм, пикрат которого плавится при 101° и не дает депрессии температуры плавления в смеси с известным образцом.

б) Шелочное. Опыт проводили аналогично второму. Из 18,9 г (0,0757 моля) соли III, 6,5 г NаOH в 26 мл воды получено: 7,2 г (0,069 моля $85,2^0/_0$) 1-диметиламино-3-метилбутена-2 с т. кип. 113—116°, пикрат которого плавится при 101° и не дает депрессии температуры плавления в смеси с известным образцом, 1,5 г (0,015 моля, $19,8^0/_0$) метилметакрилата с т. кип. 100° , n_D^{20} 1,4149. Подкислением остатка в реакционной колбе и перегонкой получена метакриловая кислота, которая целиком полимеризовалась — 2,4 г (0,0278 моля, $26,2^0/_0$).

Расщепление хлористого диэтил(β -фенилэтил)(3-метилбутен-2-ил)аммония (IV). а) Термическое. Расщепление проводилось аналогично первому (150°). Из 22,52 г (0,08 моля) соли IV получено 15,2 г (0,0764 моля, 95,5%) изопрена с т. кип. 30—32°/680 мм, n_D^{20} 1,4195, 13,1 г (0,074 моля, 92,5%) диэтил(β -фенилэтил)амина с т. кип. 98— 100°/10 мм, n_D^{20} 1,4951, пикрат которого плавится при 89° и не дает депрессии температуры плавления с известным образцом.

6) Шелочное. Смесь 24,6 г (0,0856 моля) соли IV, 6,9 г едкого натра и 28 мл воды нагревали на масляной бане. Расщепление началось при 105°. При 110—120° вместе с водой отгонялись и продукты расщепления. Отгон подкислили соляной кислотой, верхний слой отделили, нижний экстрагировали эфиром. Получено 5,6 г (0,0534 моля 62,38%) стирола с т. кип. $35,5^{\circ}/13$ мм, n_D^{20} 1,5461 [8]. Получен также 1 г полимера стирола. Подщелачением солянокислого слоя получено 9,7 г (0,0688 моля, $80,3^{\circ}/_{0}$) 1-диэтиламино-3-метилбутена-2 с т. кип. $155-156^{\circ}/680$ мм, n_D^{20} 1,4375. Пикрат плавится при 98° и не дает депрессии температуры плавления в смеси с известным образцом [9].

Расщепление хлористого диметил-(а-фенилэтил)-(3-метилбутен-2-ил)-аммония (V). а) Термическое. Из 19,4 г (0,076 моля) соли V было получено: 3,3 г (0,485 моля, 63,8%) изопрена с т. кип. 31—32°/680 мм, n_D^{20} 1,4210, 0,9 г (0,0086 моля, 11,3%) стирола с т. кип. 139—141°/680 мм, n_D^{20} 1,5459, 0,5 г (0,00354 моля, 7%) 1-диметиламино-3-метилбутена-2 с т. кип. 113—116°/680 мм; пикрат плавится при

101°, 6,9 г (0,0463 моля, 65%) диметил(α -фенилэтил)амина с т. кип. 82—83°/16 мм; n_D^{20} 1,4929 [10]. Пикрат плавится при 135°.

Пикраты обоих аминов не дают депрессии температуры плав-

ления в смеси с известными образцами.

б) Шелочное. Из 27 г (0,105 моля) соли V получено: 5,4 г (0,079 моля, $75,2^{\circ}/_{0}$) изопрена с т. кип. $30-33^{\circ}/680$ мм, Π_{D}^{20} 1,4210; 1,6 г (0,01538 моля, $14,6^{\circ}/_{0}$) стирола с т. кип. $140-145^{\circ}/680$ мм, Π_{D}^{20} 1,5450, 1,4 г (0,0124 моля, $11,8^{\circ}/_{0}$) 1-диметиламино-3-метилбутена-2 с т. кип. $114-117^{\circ}/680$ мм и т. пл. пикрата 101° , 12 г (0,0835 моля. $79^{\circ}/_{0}$) диметил-(α -фенилэтил)амина с т. кип. $79-82^{\circ}/16$ мм, Π_{D}^{20} 1,5010 и т. пл. пикрата 135° .

Пикраты обоих аминов не дают депрессии температуры плав

ления в смеси с известными образцами.

Расщепление хлористого диметил-(а-фенилэтил)-(β -фенилэтил)-аммония (VI). а) Термическое. 8,2 г (0,283 моля) соли V нагревали на масляной бане при температуре $160-170^\circ$ в течение 20 минут. Перегналось 2,7 г (0,026 моля, $91,8^0/_0$) стирола с т. кип. $142-143^\circ/680$ мм, n_D^{20} 1,5445. Из остатка в реакционной колбе подщелачением получено 3,8 г (0,0255 моля, $90,1^0/_0$) диметил(β -фенилэтил)амина с т. кип. $79-80^\circ/7$ мм, n_D^{20} 1,5002. Пикрат плавится при $132-133^\circ$ и не дает депрессии температуры плавления в смеси с известным образцом.

б) Шелочное. Смесь 9,6 г (0,033 моля) соли VI, 5,6 г едкого кали и 23 мл воды нагревалась на масляной бане. Расщепление началось при 97°. Отгон подкислили соляной кислотой, верхний слой отделили, нижний экстрагировали эфиром. Получено 3 г (0,288 моля, $87,3^{0}/_{0}$) стирола с т. кип. $52^{\circ}/20$ мм, $n_{\rm D}^{20}$ 1,5441. Подщелачением солянокислого слоя получено 4,15 г (0,02786 моля, $84,4^{0}/_{0}$) диметил-(α -фенилэтил)амина с т. кип. $79^{\circ}/17$ мм, $n_{\rm D}^{20}$ 1,5047. Пикрат плавится при 135° и не дает депрессии температуры плавления в смеси с известным образцом.

Алкилирование метиланилина хлористым диметил(α -фенилэтил)-(3-метилбутен-2-ил)-аммонием. Смесь 18,4 г (0,0727 моля) хлористого диметил (α -фенилэтил)-(3-метилбутен-2-ил)-аммония и 15,55 г (0,1454 моля) метиланилина нагревали 5 часов при температуре 140—145°. За это время вес реакционной смеси уменьшился на 1 г и сильно пахло изопреном (если считать, что этот 1 г был изопреном, то это составит 0,0147 моля, $20,2^0/_0$). Реакционную смесь разбавили водой, экстрагировали эфиром, высушили и перегнали. Получено: 6,4 г (0,03657 моля, $50,3^0/_0$) метилфенил(3-метилбутен-2-ил)-амина с т. кип. $95-100^\circ/5$ мм, пикрат которого плавится при 101° и не дает депрессии температуры плавления в смеси с известным образцом [11], 2,4 г (0,0113 моля, $15,5^0/_0$) метилфенил(α -фенилэтил)амина с т. кип. $125-128^\circ/3$ мм, d^{20} 1,0000, n^{20} 1,5785, MRD найдено 68,3; вычислено

70,03. Найдено %: С 83,62, Н 8,23, N 7,90; С₁₅Н₁₇N. Вычислено %: С 85,30; Н 8,05, N 6,6. Пикрат плавится при 116°. Найдено %: N 12,40; С₂₁Н₂₀N₄O₇. Вычислено %: N 12,72.

Подщелочением водного слоя получено: $0.84 \, \text{г}$ ($11^{\circ}/_{0}$, $0.008 \, \text{моля}$) 1-диметиламино-3-метилбутена-2 с т. кип. $115-118^{\circ}$; пикрат плавится при 101° , 7,5 г ($0.05036 \, \text{моля}$, $70^{\circ}/_{0}$) диметил(α -фенилэтил)-амина с т. кип. $79-81^{\circ}/15 \, \text{мм}$, пикрат плавится при 135° .

Пикраты обоих аминов не дают депрессии температуры плавления в смеси с соответствующими образцами.

Диметил (β-фенилэтил) амин. 104 г (1 моль) стирола, 150 мл абсолютного эфира и 0,5 г натрия поместили в круглодонную колбу, снабженную обратным холодильником, механической мешалкой и трубкой для подачи диметиламина. При перемешивании и охлаждении водой пропустили 45 г сухого диметиламина в течение одного часа. Перемешивание продолжали еще четыре часа. Затем реакционную смесь декантировали с натрия и перегнали. Получено 104,5 г (0,7 моля, 70%) диметил(β-фенилэтил) амина с т. кип. 53% мм; d20 0,9008; n20 1,5030; МRD найдено 48,93; вычислено 48,72. Пикрат плавится при 133%. По литературным данным [12] т. кип. 204—206% 760 мм; 89—91% 16 мм; температура плавления пикрата 133—134%.

Диэтил(β-фенилэтил)-амин. В круглодонную колбу, снабженную обратным холодильником, механической мешалкой, термометром и капельной воронкой, поместили 29,9 г (0,41 моля) диэтиламина и 0,5 г натрия. При перемешивании из капельной воронки прикапали 42,6 г (0,41 моля) стирола. После прикапывания всего количества стирола смесь перемешивали в течение 6 часов. Перегонкой получено 49,6 г (0,28 моля, 68,2%) диэтил(β-фенилэтил)амина с т. кип. 100—101°/10 мм, про 1,4968; пикрат плавится при 89—90°. По литературным данным [12] т. кип. 103°/10 мм, т. пл. пикрата 95°.

Институт органической химии АН АрмССР

Поступило 10 IV 1964

ZԵՏԱԶՈՏՈՒԹՅՈՒՆՆԵՐ ԱՄԻՆՆԵՐԻ ԵՎ ԱՄՈՆԻՈՒՄԱՅԻՆ ՄԻԱՑՈՒԹՅՈՒՆՆԵՐԻ ԲՆԱԳԱՎԱՌՈՒՄ

XXXV. Տեղակալված էթիլ խմբեր պարունակող չորրորդային ամոնիումային աղերի ջերմային ե ճիմնային ճեղջումբ

Ա. Թ. Բաբայան, Գ. Թ. Մաւսիւոսյան և Ջ. Վ. Գւիգույան

Ամփոփում

պարունակող չորրորդային ամոնիուժյան վրա տարբեր էլեկտրոնաակցեպտորային խմբերի ազդեցուժյունն ուսումնասիրելու նպատակով սինթեղվել և ջերմային ու հիմնային ճեղջման են ենթարկվել տեղակալված էթիլ խմբեր Ջերմալին և հիմնալին ձեղքման արդյունքները բերված են 2 աղլու-

Աղյուսակում բերված տվյալների հիման վրա կազմվել են ուսումնան շարքեր՝ ջերմալին ճեղքման համեմատական դյուրինության համապատաս-Б չարքը

ЛИТЕРАТУРА

- 1. А. Т. Бабаян, Г. Т. Мартиросян, Д. В. Григорян, Э. А. Григорян, Изв. АН АрмССР, ХН, 16, 449 (1963).
- 2. А. Т. Бабаян, Г. Т. Мартиросян, ДАН АрмССР, 32, 87 (1961).
- 3. И. Н. Назаров, Р. И. Кругликова, ЖОХ, 27, 347 (1957), И. Н. Назаров, Л. З. Казарян, там же, 27, 3302 (1957).
- 4. H. Bestlan, Lieb, Ann. 556, 210 (1950); R. Wegler, G. Pleper, Ber. 83, 1 (1950).
- 5. П. Вацулик, Химия мономеров, том 1, ИЛ, Москва, 1960, 661.
- 6. А. Т. Бабаян, Г. М. Мкрян, Р. С. Гюли-Кехеян, ЖОХ, 28, 1259 (1958).
- 7. C. S. Marvel, G. L. Schertz, J. Am. Chem. Soc. 65, 2055 (1943).
- 8. R. R. Dreisbach, R. A. Martin, Ind. Eng. Chem. 41, 2875 (1949).
- 9. И. Н. Назаров, В. Н. Пакреев, Л. И. Шмонина, ЖОХ, 22, 611 (1952).
- 10. H. R. Snyder, J. H. Brewster, J. Am. Chem. Soc. 71, 291 (1949).
- 11. А. Т. Бабаян, Г. Т. Мартиросян, Н. Г. Вартанян, М. Г. Инджикян, ЖОХ, 20, 2263 (1960).
- 12. J. Braun, Ber. 43, 3211 (1910).

XIX, № 1, 1966

УДК 542.91+547.548+547.564.3

Превращения 3-нитро-4-окси- и 3-нитро-4-метоксибензилхлоридов

І. Синтев серусодержащих соединений

Г. Т. Есаян, А. А. Бабаян и А. В. Мушегян

Взаимодействием 3-нитро-4-окси- и 3-нитро-4-метоксибензилхлоридов с роданистым калием, тиомочевиной и тиосульфатом натрия получены соответствующие тиоцианаты, S-производные изотиомочевины и тиосульфата натрия. Хлорированием в водной среде S-(3-нитро-4-метоксибензил)изотиомочевины и -тиосульфата натрия получен 3-нитро-4-метоксибензилсульфохлорид. Показано, что при хлорировании в водной среде S-(3-нитро-4-оксибензил)-изотиомочевины окисления гидроксильной группы не происходит и образуется нормальный продукт реакции — 3-нитро-4-оксибензилсульфохлорид.

3-Нитро-4-окси- и 3-нитро-4-метоксибензилхлориды, легко получаемые хлорметилированием о-нитрофенола и о-нитроанизола [1—3] благодаря большой реакционной способности могут служить исходными продуктами для получения различных многофункциональных соединений. Несмотря на это, изучены лишь немногочисленные их превращения [1,3]. Более подробно изучены другие хлорметилпроизводные фенолов — 3-нитро-6-метоксибензилхлорид [4] и 3-карбметокси-4-метоксибензилхлорид [5].

В настоящем сообщении описан синтез из 3-нитро-4-окси- и 3-нитро-4-метоксибензилхлоридов, тиоцианатов, S-производных изотиомочевины и тиосульфата натрия и сульфохлоридов. Эти соединения могут представить интерес как биологически активные вещества и служить исходными веществами для синтеза других серусодержащих соединений.

3-Нитро-4-окси- и 3-нитро-4-метоксибензил тиоцианаты, S-производные изотиомочевины и тиосульфата натрия получены обычными способами — взаимодействием хлоридов с роданистым калием, тиомочевиной и гипосульфитом натрия, соответственно, в спиртовой среде:

RO

$$CH_2SCN \leftarrow RO$$
 $CH_2CI \rightarrow RO$
 CH_2SC
 NH_2
 NO_2
 NO_2
 RO
 CH_2SSO_2ONa
 NO_2
 RO
 R

Из 3-нитро-4-метоксибензилтиоцианата (Іб) путем хлорирования в водной среде, в отличие от алкилтиоцианатов [6], не удалось получить соответствующий сульфохлорид (при охлаждении льдом реакция не протекала, при 60° образовалось смолистое вещество, не поддающееся очистке). Хотя и бензилтиоцианат в тех же условиях образует сульфохлорид лишь с незначительным выходом [6], наши опыты поставили под сомнение принадлежность Іа и Іб к группе тиоцианатов. Строение этих соединений, как тиоцианатов, было доказано данными ИК спектров, показавших сильное поглощение в области 2148 (Іа) и 2145 см⁻¹ (Іб), что свидетельствует о наличии нитрильной группы (некоторое отклонение частоты нитрильной группы от обычной —2200 см⁻¹ можно объяснить влиянием соседнего атома серы).

При хлорировании S-(3-нитро-4-метоксибензил)изотиомочевины (IIб) и тиосульфата натрия (IIIб) получен 3-нитро-4-метоксибензил-сульфохлорид, строение которого было подтверждено его превращением в сульфамид при действии как газообразного, так и водного аммиака. При хлорировании в водной среде S-(3-нитро-4-оксибензил)-изотиомочевины (IIа) и тиосульфата натрия (IIIа) реакция могла протекать в двух направлениях: с образованием нормального продукта реакции — 3-нитро-4-оксибензилсульфохлорида (IV) или же продукта его окисления в соединение с хиноидным строением (V).

$$O = CHSO_2CI$$
 $O = V$
 $O = V$

В случае S-производного тиосульфата натрия имело место осмоление, и продукт реакции не удалось выделить в чистом виде. В случае S-производного изотиомочевины получено кристаллическое вещество, по элементарному составу соответствующее обоим возможным сульфохлоридам. В ИК спектре этого вещества (рис. 1а) отсутствует поглощение в области валентных колебаний, относящихся к карбонильной группе в хиноидном кольце (в пределах 1670—1680 см⁻¹). Бензольное кольцо характеризуется частотами 1493, 1591, 1631 см⁻¹ и т. д. Для валентного колебания группы ОН получено широкое поглощение в области 3185—3202 см⁻¹, что указывает на ее сильную ассоцированность (эта часть спектра не приведена на рисунке). Остальные группы характеризуются частотами: NO₂ 1536, 1257 см⁻¹ и т. д.; SO₂ 1144, 1166—1179 см⁻¹ и т. д.

Для четкого подтверждения этих данных был снят также спектр 3-нитро-4-метоксибензилсульфохлорида (рис. 1б). Таким образом, при хлорировании S-(3-нитро-4-оксибензил)изотиомочевины в водной среде гидроксильная группа не окисляется и продуктом реакции является 3-нитро-4-оксибензилсульфохлорид. Последний, в отличие от меток-

сильного производного, является нестойким соединением, в особенности в щелочной среде (водный аммиак, едкий натр), превращаясь

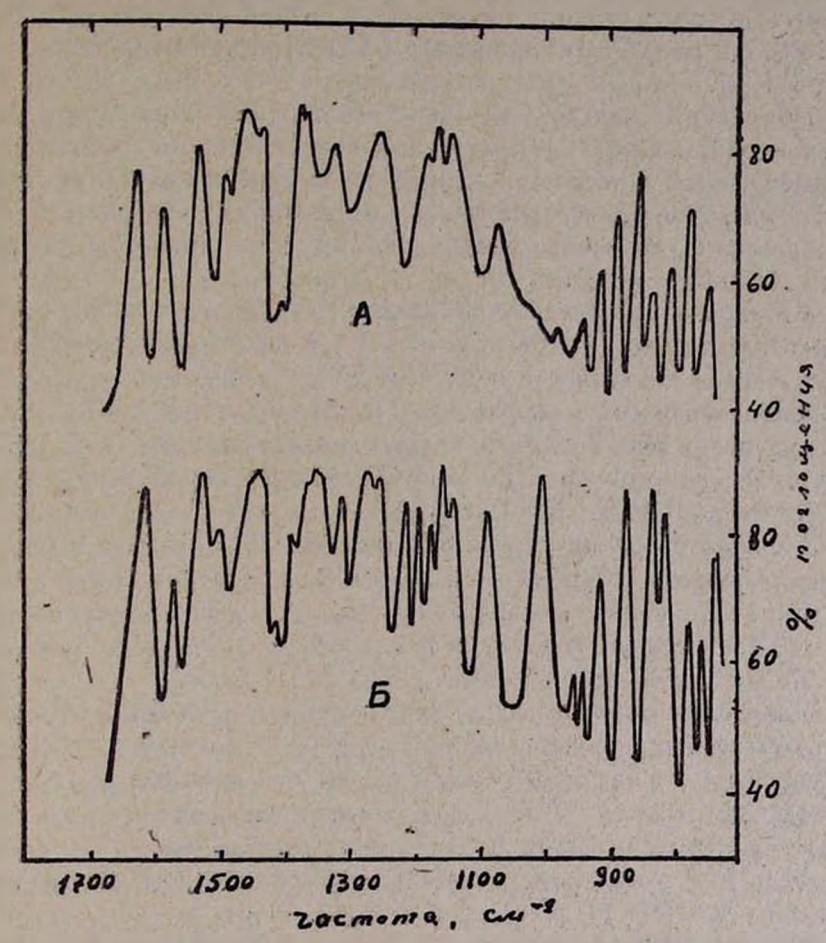


Рис. 1. ИК спектры 3-ннтро-4-оксибензилсульфохлорида (A) и 3-нитро-4--метоксибензилсульфохлорида (Б).

при этом в смолообразное вещество, по-видимому, продукт поликонденсации.

Экспериментальная часть

3-Нитро-4-оксибензилхлорид получен как из 3-нитро-4-оксибензилового спирта [1], так и непосредственно из о-нитрофенола хлорметилированием в присутствии формалина и большого избытка соляной кислоты [2]. В последнем случае продукт реакции очищается труднее, но получается с высоким выходом. Сырой продукт перекристаллизован из этанола или петролейного эфира; т. пл: 68—70°; по литературным данным, т. пл. 72° [1].

3-Нитро-4-метоксибензилхлорид получен аналогичным способом нагреванием в течение 10—12 часов на кипящей водяной бане при постоянном перемешивании смеси o-нитровнизола, формалина $(100^{\circ})_{o}$ избыток) и конентрированной соляной кислоты $(700-800^{\circ})_{o}$ избыток). Продукт реакции отсасывался и промывался водой. Выход $74-76^{\circ}$, т. пл. 85° (из этанола); по литературным данным т. пл. $85,5-86^{\circ}$ [3].

Получение 3-нитро-4-метоксибензилхлорида этим путем указывается в одном патенте [7], однако, в нем не приводятся экспериментальные данные. Описанный в литературе способ получения хлорида (насыщение смеси о-нитроанизола, формалина и хлористого цинка газообразным хлористым водородом) [3] дает примерно такой же

выход, но менее удобен.

3-Нитро-4-оксибензилтиоцианат (Ia). Раствор 1,8 г 3-нитро-4-оксибензилхлорида (\sim 0,01 моля) и 1,1 г KSCN (\sim 10% избыток) в 20 мл этанола кипятился с обратным холодильником в течение 6 часов. Реакционная смесь обработана водой и экстрагирована эфиром. После удаления эфира получен кристаллический остаток — 1 г (52,7%), т. пл. 125° (из этанола). Найдено %: S 15,40; N 13,50; C₈H₈O₂SN₂. Вычислено %: S 15,24; N 13,33.

3-Нитро-4-метоксибензилтиоцианат (Іб). Раствор 10 г 3-нитро-4-метоксибензилхлорида и 5,2 г KSCN в этаноле кипятился 6 часов. Реакционная смесь обрабатывалась как в предыдущем случае. Выход 5,8 г (48,3%), т. пл. 59° (из хлороформа). Найдено %: S 14,61; N 12,97; $C_0H_8O_2SN_2$. Вычислено %: S 14,28; N 12,50.

Хлористоводородная соль S-(3-нитро-4-оксибензил) изотиомочевины (IIa). Раствор 3,8 г тиомочевины (0,05 моля) и 9,4 г 3-нитро-4-оксибензилхлорида (0,05 моля) в 100 мл метанола кипятился на водяной бане 9 часов. После удаления растворителя кристаллический остаток промывался эфиром и сушился на воздухе. Вес 10,7 г (81,7%), т. пл. $199-200^\circ$. Найдено %: S 12,43; N 15,35; Cl 13,54; C₈H₁₀O₃SN₃Cl. Вычислено %: S 12,14; N 15,93; Cl 13,47.

Хлористоводородная соль S-(3-нитро-4-метоксибензил) изо-тиомочевины (116). Аналогично из 3,8 г тиомочевины и 10 г 3-нитро-4-метоксибензилхлорида получено 10,7 г (77,5%) S-производного изотиомочевины, т. пл. 208° (из этанола). Найдено %: S 12,01; N 15,07; C1 $^-$ 12,53; C₉H₁₉O₃SN₃C1. Вычислено %: S 11,53; N 15,13; C1 $^-$ 12,79.

S-(3-Нитро-4-оксибензил) тиосульфат натрия (IIIа). Смесь 12,4 г Na₂S₂O₃·5H₂O (0,05 моля) и 12,2 г 3-нитро-4-оксибензилхлорида (30% избыток) в 300 мл водного метанола (1:1) кипятилась на водяной бане 8 часов. После удаления растворителя в вакууме (водоструйный насос) остаток промывался эфиром. Вес 10,5 г (73,4%) т. пл. 119° (из этанола) Найдено %: S 22,40; N 5,50. $C_7H_6O_6S_2NNa$. Вычислено %: S 22,30; N 4,88.

S-(3-Нитро-4-метоксибензил) тиосульфат натрия (1116). Аналогично из 12,4 г $Na_2S_2O_3 \cdot 5H_2O$ и 10 г 3-нитро-4-метоксибензилхлорида (0,05 моля) получено 15 г (теоретическое количество) S-произ-

водного тиосульфата натрия. Т. пл. 160° (из этанола). Найдено %: S 21,86; N 4,90; C₈H₈O₆S₂NNa. Вычислено %: S 21,26, N 4,65.

3-Нитро-4-метоксибензилсульфохлорид. а) Из S-производного тиосульфата натрия по способу, описанному для 1-пентансульфохлорида [8]. Смесь 20,15 г 3-нитро-4-метоксибензилхлорида и 24,8 г гипосульфита натрия в 500 мл водного метанола (1:1) кипятилась на водяной бане 9 часов. К остатку, после удаления растворителя, прибавлено 50 г льда и 25 мл уксусной кислоты, через охлажденную льдом смесь пропущен хлор до постоянного желтого окрашивания. Кристаллический осадок отфильтрован, промыт водой, эфиром и высушен при комнатной температуре. Вес 16,9 г (63,7%, считая на хлорид); т. пл. 114° (из эфира). В отсутствии уксусной кислоты выход составлял 49,0%. Найдено %: С1 14,13; S 12,67; N 5,56. С8H8O5SNC1. Вычислено %: С1 13,37; S 12,05; N 5,27.

Сульфохлорид получался также непосредственно из S-(3-нитро--4-метоксибензил)тиосульфата натрия в условиях, описанных выше. Выход 85,2%, считая на S-производное тиосульфата натрия.

б) Из S-производного тиомочевины в условиях получения бензилсульфохлорида [6]. Через охлажденный льдом раствор 5 г хлористоводородной соли S-(3-нитро-4-метоксибензил)изотиомочевины пропущен хлор до постоянного желтого окрашивания. Осадок сульфохлорида промыт водой, затем эфиром. Вес 3,5 г (75,0%) т. пл... 112—113°.

3-Нитро-4-метоксибензилсульфохлорида в 20 мл сухого бензола пропущен сухой аммиак до прекращения образования осадка. Реакционная смесь отфильтрована, осадок обработан горячим бензолом. Изсоединенных бензольных фильтратов после удаления растворителя при комнатной температуре в вакууме (водоструйный насос) получен-1 г сульфамида (47,6%), т. пл. 175°.

б) Смесь 2,3 г 3-нитро-4-метоксибензилсульфохлорида и 20 мл водного раствора аммиака (28%) нагревалась на водяной бане при перемешивании в течение 4—5 часов. Осадок отфильтрован, промыт водой и эфиром. Вес 1,5 г (71,4%), т. пл. 176—179° (из этанола). Найдено %: N 11,42. Св Нь О. S. Вычислено %: N 11,38.

3-Нитро-4-оксибензилсульфохлорид (IV). Через охлажденный льдом водный раствор 5 г хлористоводородной соли S-(3-нитро-4-оксибензил) изотиомочевины пропущен умеренный ток хлора до появления желтого окрашивания (продолжительное хлорирование приводит к осмолению). Осадок отфильтрован, промыт водой и высушен на воздухе. Вес 3,7 г (78,7%). Т. пл. 80° (из эфира). Найдено %: С1 14,93; S 12,61; N 5,53. С₁H₆O₅SNC1. Вычислено %: С1 14,11; S 12,72; N 5,56.

3-ՆԻՏՐՈ-4-ՕՔՍԻ- ԵՎ 3**-**ՆԻՏՐՈ-4-ՄԵ₽ՕՔՍԻԲԵՆԶԻԼՔԼՈՐԻԴՆԵՐԻ ՓՈԽԱՐԿՈՒՄՆԵՐԸ

I. Ծծումբ պարունակող միացությունների սինթեգ

Հ. 8. թույան, ե. ե. Բաբայան և Ա. Վ. Մուշեղյան

Udhahatd

արդանակ իրեն արև արդանան արգանական արդ միացությունները կարող են հետա-- Հեչ են ուսումնասիրված, մինչդևռ ալդ միացությունները կարող են հետա-- Հեր թրություն ներկայացնել բազմաֆունկցիոնալ նյութերի սինթեզի համար։

Նևրկա աշխատանքում նկարագրում ևնք վերոհիշլալ քլորիդների մի շարք փոխարկումներ։ Նրանց վրա կալիումի ռոդանիդ, ԹիոմիզանլուԹ և նատրիումի հիպոսուլֆիտ ազդելով սինԹեզել ենք համապատասխան Թիոցիանատներ, իղոԹիոմիզանլուԹի և Թիոսուլֆատի Տ-աժանցլալներ։

S-(3-Նիարո-4-մե Թօքսիրենզիլ)իզո Թիոմիզանյու Թի քլորջրածնական աղը քլորելով չրալին միջավալրում սին Թեզել ենք 4-մե Թօքսիրևնզիլաուլֆո- քլորիդ, որի կառուցված քն ապացուցված է համապատասխան սուլֆամիդի ստացմամը։

Ցույց է տրված, որ S-(3-նիտրո-4-օքսիբենզիլ)իզոԹիոմիզանլուԹի քլորաջրածնական աղը ջրալին միջավալրում քլորելիս օքսիդացում տեղի չի ունենում և ստացվում է 3-նիտրո-4-օքսիբենզիլսուլֆոքլորիդ։ Վերջինիս, ինչպես և վևրոհիշլալ Թիոցիանատների կառուցվածքն ապացուցված է սպեկանալիզի տվյալներով։

ЛИТЕРАТУРА

- 1. R. Stoermer, K. Behn, Ber. 34, 2455 (1901).
- 2. Г. Т. Есаян, Г. А. Дарбинян, Г. А. Конджикян, Г. А. Папян, А. А. Бабаян, В. С. Хачатрян, Э. Е. Оганесян, Г. Шекоян, Гос. комитет С.М АрмССР по координации научно-исслед. работ, научно-техн. сборник серия химия и хим. технология 1962, № 2, 9.
- 3. R. Quellet, Y. Germain, C. r. 202, 1442 (1936).
- 4. R. Quellet, H. Coudaune, Bull. soc. chim. F.rance 1963, 445.
- 5. A. A. Ароян, Изв. AH APMCCP, XH, 16, 373 (1963).
- 6. T. B. Johnson, I. B. Douglass. J. Am. Chem. Soc. 61, 2548 (1939).
- 7. Англ. патент 347.892 (1930); [С. А. 27, 1359 (1933)].
- 8. C. Ziegler, I. M. Sprague, J. Org. Chem. 16, 621 (1951)

XIX, № 1, 1966

УДК 542.91+632.951

Синтез гербицидов

XVI. α-Алкокси-3,3,3-трихлорэтиловые эфиры арилоксии галоидуксусных кислот

В. В. Довлатян и Д. А. Костанян

В качестве возможных гербицидов получены и охарактеризованы а-алкокси-3,3,5-трихлорэтиловые эфиры галоидуксусных и арилоксиуксусных кислот, описываемые впервые. Установлено, что яри взаимодействии арилоксиуксусных кислот с полуацеталями хлораля вместо ожидаемых эфиров образуются алкиловые эфиры кислот и хлоральгидрат. Под действием фенолята калия а-пропокси-3,8,3-трихлорэтиловый эфир хлоруксусной кислоты, в основном дегидрохлорируясь, превращается в соответствующий а-пропокси-3,6-дихлорвиниловый эфир. Ароксиацетилирование полуацеталей хлораля осуществлено посредством соответствующих хлорангидридов и под действием эквимолекулярного количества пиридина. Показана возможность получения эфиров галоидарилоксиуксусных кислот путем хлорирования а-пропокси-3,8,8-трихлорэтилового эфира феноксиуксусной кислоты.

Ранее было установлено, что α-окси-β,β,β-трихлорэтиловые амиды различных карбоновых кислот, полученные конденсацией амидов с хлоралем, проявляют высокую гербицидную активность, причем, если наличие в них галоидарилоксиацетильных групп обеспечивает сплошное гербицидное действие, то галоидацетильные радикалы, наоборот, способствуют только усилению противозлаковой активности синтезированных амидов [1].

Представлялось интересным получение соединений, в которых алкокситрихлорэтильная группа сочеталась бы со сложноэфирной функцией:

RCOOCHOR'CCI,

R=ArOCH₂, CICH₃, CCl₃ R'=алкил

Прежде всего изучалась возможность синтеза этих эфиров по схеме:

CCI,CHO CCI,CHOROH Aroch,COOH AroCH,COOCHORCCI,

Однако оказалось, что при этерификации кислот полуацеталями хлораля, осуществляемой под каталитическим действием *п*-толуол-сульфокислоты и путем азеотропной отгонки образующейся в результате реакции воды, вместо ожидаемых *а*-алкокси-β,β,β-трихлорэтиловых эфиров образуются алкиловые эфиры арилоксиуксусных кислот и хлоральгидрат:

Aroch, COOH + HOCHORCCI, --- Aroch, COOR + CCI, CH(OH),

Затем была сделана попытка синтезировать эфиры по следующей схеме:

Было установлено, что в основной стадии данной схемы α -алкокси- β , β , β -трихлорэтиловые эфиры хлоруксусной кислоты под действием фенолята калия, вместо обычного феноксилирования, подвергаются, в основном, дегидрохлорированию, с образованием свободного фенола и α -алкокси- β , β -дихлорвиниловых эфиров хлоруксусной кислоты:

$$C_{e}H_{s}OK + CICH_{s}COOCHORCCI_{s} \longrightarrow C_{e}H_{s}OH + CICH_{s}COOCOR = CCI_{s} + KCI$$

В ИК-спектре полученного эфира винилового типа обнаружено поглощение, характерное для хлорзамещенной винильной группы при $1600\ cm^{-1}$. Далее, карбонильная группа характеризуется интенсивным поглощением при $1700\ cm^{-1}$; повышение частоты от нормального значения ($1720-1730\ cm^{-1}$) объясняется электроотрицательной индукцией атома хлора, находящегося у α -углерода, чем и доказано наличие хлорацетильной группы в полученных эфирах.

Склонность α -алкокси- β , β , β -трихлорэтиловых эфиров хлоруксусной кислоты и родственных им соединений к реакциям дегидрохлорирования, легко протекающим под действием щелочных агентов, отмечалась в литературе. Так, Патерно и Писати [2], а в дальнейшем Годфрой [3] показали, что α -этокси- β , β , β -трихлорэтилхлорид при взаимодействии со спиртовым едким кали, не образуя диэтилацеталя хлораля, дегидрохлорируется с превращением в α , β , β -трихлорвинил-этиловый эфир.

Учитывая, что аномальное взаимодействие арилоксиуксусных кислот с полуацеталями хлораля связано с обменной реакцией, протекающей между последними и свободными кислотами, ароксиацетилирование полуацеталей осуществлялось посредством хлорангидридов кислот:

Выходы, некоторые константы и данные анализа приведены в таблице.

Строение синтезированных эфиров подтверждено встречным синтезом одного из зих — а-пропокси-β,β,β-трихлорэтилового эфира феноксиуксусной кислоты по следующей схеме:

Изучалась также возможность синтеза эфиров 2,4-дихлорфенок-сиуксусной кислоты хлорированием соответствующих эфиров фенок-

сиуксусной кислоты; подвергнут хлорированию α-пропокси-β, β, β-трихлорэтиловый эфир феноксиуксусной кислоты. Было установлено, что при температуре 125—135° под действием газообразного хлора исходный эфир в основном расщепляется с образованием хлорированной кислоты и α-пропокси-β, β, β-трихлорэтилхлорида, но при пониженной температуре хлорирование протекает сравнительно гладко, и ожидаемый продукт реакции получается с 83% выходом:

Результаты испытания гербицидной активности полученных эфиров будут опубликованы отдельно.

Экспериментальная часть

Получение полуацеталей хлораля. К навеске хлораля при встряхивании добавляют эквимолекулярное количество абсолютного спирта и закрывают пробкой. Через 30 минут продукт реакции переливают в колбу Вюрца и перегоняют при обыкновенном давлении. Выход количественный, константы полученных полуацеталей соответствовяли данным литературы [4].

Взаимодействие феноксиуксусной кислоты с моноацеталем хлораля. Смесь 15,2 г (0,1 моля) феноксиуксусной кислоты, 23 г (0,11 моля) монопропилацеталя хлораля, 60 мл дихлорэтана и 0,5 г л-толуолсульфокислоты при энергичном перемешивании нагревают на кипящей водяной бане до прекращения выделения воды в водоот-делителе.

По окончании реакции смесь отфильтровывают, из фильтрата отгоняют растворитель и остаток — пропиловый эфир феноксиуксусной кислоты, перегоняют в вакууме, собирая фракцию, кипящую при $113-116^{\circ}/1$ мм. Выход 15,2 г или $80^{\circ}/_{\circ}$ теории, d_{\star}^{20} 1,0931, n_{D}^{20} 1,4975. М R_{D} найдено 51,97, вычислено 52,69. Найдено $0^{\circ}/_{\circ}$: С 68,28; Н 6,82; $C_{11}H_{14}O_{3}$. Вычислено $0^{\circ}/_{\circ}$: С 68,04; Н 7,21.

Получение а-пропокси- β , β , β -трихлорэтилового эфира хлоруксусной кислоты. К смеси 30 мл сухого эфира и 7,35 г (0,065 моля) хлорангидрида хлоруксусной кислоты при перемешивании и охлаждении охладительной смесью по каплям добавляют 5,14 г (0,065 моля) пиридина, растворенного в 20 мл сухого эфира, а затем 13,5 г (0,065 моля) монопропилацеталя хлораля. При перемешивании реакционную смесь нагревают на водяной бане в течение 3-х часов и оставляют на ночь. На следующий день добавляют 50 мл воды, отделяют эфирный слой, водный 2 раза экстрагируют эфиром, эфирный раствор промывают 5% раствором бикарбоната натрия, высушивают над прокаленным сернокислым натрием, отгоняют эфир и оставор

ток перегоняют в вакууме, собирая фракцию, кипящую при $114-116^{\circ}/1$ м.и; выход 11,3 г $(65^{\circ}/_{\circ}$ теории). Указанным способом получены

другие эфиры данной кислоты.

Взаимодействие фенолята калия с а-изопропокси- β , β , β -три-хлорэтиловым эфиром хлоруксусной кислоты. К смеси 60 мл сухого бензола и 2,82 г (0,03 моля) фенола при перемешивании медленно прибавляют 1,68 г (0,03 моля) едкого кали. Затем, на масляной бане отгоняют азеотроп до полного удаления воды, после чего добавляют 10,5 г (0,03 моля) а-изопропокси- β , β , β -трихлорэтилового эфира хлоруксусной кислоты и смесь нагревают на масляной бане при 125—130° в течение 6 часов. После охлаждения добавляют 50 мл эфира, фильтруют, от фильтрата отгоняют растворитель и остаток перегоняют в вакууме, собирая фракцию, кипящую при 127—129°/1 мм. Выход 5,5 г (60°/ $_0$ теории); d_4^{20} 1,3236, n_D^{20} 1,4890. MRD найдено 53,97, вычислено 51,96. Найдено o/ $_0$: C1 42,60. $C_7H_0O_3CI_3$. Вычислено o/ $_0$: C1 43,03.

Арилоксиацетилирование полуацеталей хлораля. К хлорангидриду арилоксиуксусной кислоты, растворенному в двукратном количестве абсолютного бензола, при энергичном перемешивании и охлаждении до -8, -10° по каплям добавляют эквимолекулярное количество сухого пиридина, растворенного в абсолютном бензоле.

Перемешивание и охлаждение смеси продолжают еще 30 минут, и затем по каплям добавляют эквимолекулярное количество полуацеталя хлораля, растворенного в абсолютном бензоле. После 30-ти минутного перемешивания удаляют охладительную смесь и продолжают перемешивание в течение 4—5 часов. Для растворения выпавшего осадка добавляют воды, отделяют бензольный слой, водный слой экстрагируют эфиром, смешивают с бензольным экстрактом и промывают 5% раствором бикарбоната натрия до полного прекращения выделения углекислого газа.

Соединенные экстракты высушивают над безводным сернокислым натрием и после удаления растворителя остаток перегоняют при пониженном давлении (не более 1-2 мм остаточного давления). Некоторые эфиры после удаления растворителей закристаллизовываются; последние перекристаллизовывают из κ -гептана.

Взаимодействие а-пропокси- β , β , β -трихлорэтилхлорида с натриевой солью феноксиуксусной кислоты. Смесь 20 мл сухого толуола, 8,6 г (0,047 моля) натриевой соли феноксиуксусной кислоты, 17 г (0,072 моля) а-пропокси- β , β , β -трихлорэтилхлорида и 0,07 г пиридина при перемешивании нагревают на масляной бане в течение 10 часов при 150—160°. После охлаждения добавляют 50 мл воды, экстрагируют эфиром, высушивают над сернокислым натрием, удаляют растворитель и остаток перегоняют в вакууме, собирая фракцию, кипящую при 178—181°/1 мм; выход 11,2 г (70°/ $_0$ теории); d^{20} 1,2928, d^{20} 1,5116, MRD найдено 79,21, вычислено 78,17. При стоянии закристаллизовывается, т. пл. 46—48°.

The state of the s			
R	R'	Молекулярная формула	Выход в °/о
CICH,	C ₃ H ₇	C,H10O3CI4	65
CICH,	изо-С _а Н,	C,H10O3C14	60
CC1 ₃	C _a H _s	C.H.O.CI.	30
CCI,	нзо-C ₃ H ₇	C,H,O,Cl,	30,1
C _s H _s OCH _s	CH ₃	C11H11O4Cl3	61.2
C _s H ₅ OCH ₂	C ₂ H ₅	C,,H,3O,CI,	66,11
C ₈ H ₅ OCH ₂	C ₃ H ₇	C,3H,5O,CI,	83,33
C.H.OCH.	изо-С, Н,	C ₁₃ H ₁₅ O ₄ Cl ₃	78,43
4-C1C,H,OCH,	C₂H₅	C12H12O4CI4	45,61
4-CIC,H4OCH,	C,H,	C13H14O4C14	71,43
2-CH ₃ -4-CIC ₄ H ₃ OCH ₄	CH ₃	C12H12O4C14	39,06
2-CH ₃ -4-CIC ₄ H ₃ OCH ₄	C ₂ H ₅	C1,H14O,CI4	67,6
2-CH ₃ -4-ClC ₆ H ₃ OCH ₂	C ₃ H ₇	C14O16O4CI4	71,7
2-CH ₃ -4-CIC ₆ H ₃ OCH ₂	изо-С,Н,	C14H16O4CI4	55
2,4-Cl ₂ C ₆ H ₃ OCH ₂	CH ₃	C ₁₁ H ₉ O ₄ Cl ₅	61,6
2,4-Cl ₂ C ₆ H ₃ OCH ₂	C ₂ H ₅	C12H11O4C15	87,66
2,4-Cl _a C _a H ₃ OCH _a	C ₃ H ₇	C,,H,,3O,CI,	83
2,4-Cl ₂ C ₆ H ₃ OCH ₂	нзо-С,Н,	C13H13O4CI5	82,61
	11 10 10 10 10		4.0

				MRD		Cl B º/o	
Т. кип. в °С/ <i>мм</i>	Т. пл. в °С	d ²⁰	n <mark>20</mark>	найдено	вычислено	найдено	вичислено
114-116/1	_	1,3757	1,4710	57,70	57,29	49,75	50,00
107109/1		1,3750	1,4700	57,64	57,29	49,70	50,00
127-128/3	- T	1,5195	1,4782	63,17	62,41	62,51	62,82
108-111/2	-	1,4621	1,4750	64,89	65,38	60,18	60,51
162-167/2	44-45	_	_	-	- 1	33,90	33,97
170-173/2	87—88	· · ·	-		_	32,24	32,52
178—181/1	46-48	1,2979	1,5136	79,16	78,17	30,91	31,19
158-159/2	64—65	_	-		_	31,10	31,19
185—187/1	37—38	2 _ ~	- 3	_	-	39,00	39,22
193—197/2	49-50	- 2	_	15-11		37,53	37,76
196-199/4		1,3947	1,5333	80,59	78,42	39,15	39,22
193—197/1	60	1,3501	1,5230	85,08	83,04	37,52	37,76
199—201/1	-	1,3329	1,5179	83,65	87,66	35,30	35,71
189—192/1	45-47	_	- 5	_	-	35,41	35,71
193—196/1	_	1,4952	1,5400	80,26	78,67	46,10	46,40
	51-52		-	_		45,52	45,85
-	50-52	-	4-1		"	42,91	43,24
_	9092	-	-/-	_	-	43,35	43,24
			1111111				

Т. пл. смешанной пробы образцов эфира, полученных этим способом и феноксиацетилированием монопропилацеталя хлораля, депрессии не дает. α -Пропокси- β , β , β -трихлорэтилхлорид получен указанным в литературе способом [5] — действием пятихлористого фосфора на полуацеталь хлораля.

Хлорирование а-пропокси- β , β , β -трихлорэтилового эфира феноксиуксусной кислоты. К 15 г исходного эфира добавляют несколько кристаллов иода и при 70—80° пропускают газообразный хлор до привеса 3 г. Полученное кристаллическое вещество растворяют в эфире и промывают 5% раствором бикарбоната натрия, эфирный экстракт высушивают над сульфатом магния, удаляют эфир и остаток перекристаллизовывают из н-гептана. Выход 15 г (83% теории), т. пл. 50—52°. Смешанная проба образцов эфира, полученных этим способом и 2,4-дихлорфеноксиацетилированием монопропилацеталя хлораля, депрессии не дает. При подкислении водного слоя соляной кислотой выпадает 1,6 г 2,4-дихлорфеноксиуксусной кислоты, т. пл. 138° (из бензола). Проведен аналогичный опыт при температуре 125—135°. При этой температуре реакция в основном протекает в сторону образования 2,4-дихлорфеноксиуксусной кислоты, α -пропокси- β , β , β -трихлорэтилхлорида и небольшого количества основного продукта.

Армсельхозинститут Кафедра общей химии

Поступило 23 VIII 1965

ՀԵՐԲԻՑԻԴՆԵՐԻ ՍԻՆԹԵՉ

XVI. Արիլօբսի- և ճալոգենքացախաթթուների a-ալկօբսի-β,8,9-եռբլորէթիլային էսթերներ

Վ. Վ. Դովլաթյան և Դ. Ա. Կոստանյան

Udhnhnid

Հոβրևրի ու ճնսհաքչիմերաա։ թեւրթեւ ու ճնսհական դրկինակիը α-անիօծոի-Է՝՚՚՚՚՚՚՚՚՚՚ -աևիճնահեկին բուահինօծոի- γ΄՚՚՚՚՚՚՚ թեւրթեւ՝ սնսըծ ընտետաենվուղ թը աստծիր տրմաղ, Հասատավագ է՝ սն անինօծոիծաձարտանիստերում թը աստծիր տրմաղ, Հասատավագ է՝ սն անրիշանին արևութելուն հարաանին անկինակիր անրութերի անկինակիր Արտասանութ ենսութելուն ու անսանակութեւ անկինակիր անրութերի անկինակիր անրութերի ու ճնսնական իրանակություն ու անկինակիր անրութերի անկինակիր անրութերի անկինակիր անրութերի անկինակիր անրութերի անկինակիր անրութերութերութեւ անրութերութեւ անկինակիր անրութերի անկինակիր անրութերութեւ անրութեւ անրութեւ անրութեւ անկինակիր անրութեւ անրութեւ անրութեւ անրութեւ անրութեւ անկինակիր անրութեւ անրութ

8ուլց է տրված Նաև, որ քլորքացախաԹԹվի α-պրոպօքսի-β,β,β-տրիքլորէԹիլալին էսԹերը կալիումի ֆենոլատի ազդեցուԹլամր ենԹարկվելով հիմնականում դեհիդրոքլորման, վեր է ածվում համապատասխան α-պրոպօքսի-β,β-դիքլորվինիլալին էսԹերի։

Նախատեսնված էսԹերներն ստացված են քկորալի կիսաացետալների արիլօքսիացետիլացմամբ՝ օգտագործելով համապատասխան քլորանհիդրիդ-«Խորագրանան երթերները արացված են քկորալ էսթերների կա-

ռուցված քը հաստատված է նրանց հանդիպակած սինԹեգով։ Արդ նպատակով ըլորալի կիստացետալները ֆոսֆորի պենտաջյորիդի ազդեցությամբ փոխարկված են համապատասխան քլորիդների, որոնք պիրիդինի հետքերի որություն գերող և դեսիրանական աևինօնործանական հայարելումակար աղևրի հևտ, վեր են ածված սպասվող ԷսԹերների։

2,4-Դի քյորֆենօքսի քացախան նվի α-պրոպօքսի-3,β,β-արի քյորէ նիլալին էսները ստացված է նաև ֆենօքսիքացախաննելի չաղապատասխան էսների

் ந்கரியும் வியவியம் நக்கர்

ЛИТЕРАТУРА

- 1. В. В. Довлатян, Сборник научных трудов АрмСХИ 14, 339 (1964): Изв. АН ADMCCP, XH, 17, 220 (1964).
- 2. E. Paterno, Pisati, Gass. chim. Ital. 2, 337 (1872).
- ·3. L. Godefroy, C. r. 102, 871 (1886).
- 4. Словарь орг. соединений 1, ИЛ Москва, 1949, 418.
- 5. F. Neher, W. Foster, J. Am. Chem. Soc. 31, 410 (1909).

XIX, № 1, 1966

письма в РЕДАКЦИЮ

УДК 542.955+547.316.4

Присоединение этилового эфира трихлоруксусной кислоты к ениновым и диениновым системам

Известно, что этиловый эфир трихлоруксусной кислоты присоединяется к этиленам в присутствии окиси меди [1]. Для установления возможности и порядка присоединения этого эфира к различным винилацетиленовым и дивинилацетиленовым системам мы исследовали реакцию присоединения этого соединения к винилацетилену, изопропенилацетилену и винилизопропенилацетилену. Оказалось, что в аналогичных условиях [1] этиловый эфир трихлоруксусной кислоты присоединяется к винил- и изопропенилацеталенам в положении-1,4 с образованием хлоралленовых эфиров хлоруксусных кислот.

$$CH_2 = C - C \equiv CH \longrightarrow CHCI = C = CCH_2CCl_2COOC_2H_5$$
 $I R = H, II R = CH_3$

I и II представляют собой подвижные прозрачные жидкости, желтеющие при стоянии.

I, (выход 20,8%), т. кип. 99—100° при 3 мм; n_D^{20} 1,5090, d_A^{20} 1,3155; MR_D 55,29; вычислено 54,46. Найдено %: C1 43,60, $C_8H_9O_2Cl_3$. Вычислено %: C1 43,82.

В ИК спектре найдены частоты, характерные для алленовой группировки при 1943 $c m^{-1}$; С—О—С при 1065 $c m^{-1}$; 1186 $c m^{-1}$, 1263 $c m^{-1}$; С=О при 1706 $c m^{-1}$, 1750 $c m^{-1}$; СН в=СНС1 при 3067 $c m^{-1}$.

II, (выход 41,5%), т. кип. 100—101° при 2,5 мм; n_D^{20} 1,5071, d_1^{20} 1,2385; MR_D найдено 61,77, вычислено 59,08. Найдено %: C1 38,99. $C_9H_{11}O_2Cl_3$ Вычислено %: C1 40,66.

В ИК спектре найдены частоты, характерные для алленовой группировки при 1950 cm^{-1} ; С—О—С при 1156 cm^{-1} ; 1172 cm^{-1} ; 1240 cm^{-1} ; 1272 cm^{-1} ; С—О при 1759 cm^{-1} ; СН в —СНСІ, 3058 cm^{-1} . Аналогичным образом протекает реакция и с изопропенилацетиленом и другими винилацетиленовыми соединениями.

С. А. Вартанян Ш. О. Баданян Р. Г. Агабабян

Институт органической химии АН АрмССР

Поступило 15 VI 1965

ЛИТЕРАТУРА

1. S. Murai, N. Sonoda, S. Thutsumi, J. Org. Chem., 29, 2104 (1964).

XIX, № 1, 1966

ХРОНИКА

Первая Закавказская конференция по истории науки

7—11 октября 1965 г. в Ереване состоялась Первая Закавказская конференция по истории науки. В работах конференции приняли участие, кроме историков науки Армении, Азербайджана и Грузии, представители Москвы, Ленинграда, Киева и Ярославля, а также вице-президент Международного союза историков науки А. Т. Григорян.

В своем интересном вступительном слове президент АН АрмССР академик В. А. Амбарцумян приветствовал участников конференции и подчеркнул принципиальное и практическое значение глубокого изучения истории отечественной науки и техники.

На двух пленарных заседаниях были заслушаны доклады о вкладе ученых Армении и Грузии в советскую науку, о развитии науки за 20 лет деятельности АН АзССР, об успехах истории естествознания и техники в трех закавказских республиках, об итогах XI международного конгресса истории науки и международных научных связях комитета Советского национального объединения, о соотношении эмпирического и теоретического в историко-научном исследовании и о рукописных сокровищах Матенадарана (Хранилища древних рукописей Армении).

На секциях истории математики и механики, физики и астрономии, химии, биологии, геологии, географии, техники, медицины, сельскохозяйственных наук и методологии и истории естествознания и техники было заслушано и обсуждено свыше ста докладов.

Секция истории химии провела два заседания, на которых было заслушано и обсуждено семь докладов.

Доклад А. В. Абрамяна (Ереван) был посвящен результатам изучения химического и минералогического состава некоторых керамических и стеклянных изделий, найденных при раскопках в Армении (Шенгавит, IV тысячелетие д. н. э), Кармир-Блур (VII в. д. н. э.), Гарни (I—III в.), Двин (V—VII вв.). На основании результатов своих химических, минералогических и спектральных качественно-количественных анализов докладчик считает установленным, что подвергнутые им изучению изделия (гончарные, стеклянные, глазури) изготовлены на месте, из местного сырья, с использованием обломков различных горных пород и цементирующих средств, растительных красок и сажи, что армянским мастерам было известно изготовление легкоплавкой фритты, использовавшейся для приготовления глазурей. Им было известно

также влияние окислов железа, алюминия и щелочей на процесс

плавки, спекания и оформления изделий.

В докладе В. И. Кузнецова (Москва) "Развитие учения о катализе" автор установил связь между различными гипотезами и теориями катализа, показал основные тенденции в развитии теоретических представлений в области катализа, историческую причинную обусловленность появления различных гипотез и теорий, дал им оценку.

Доклад О. А. Чалтыкяна и В. Д. Азатяна (Ереван) был посвящен истории развития химической науки в Ереванском государственном университете. Химический факультет университета стал подлинной кузницей подготовки высококвалифицированных кадров, занятых как теоретическими исследованиями, так и руководством и разрешением народно-хозяйственных задач страны. Кафедрами и лабораториями выполнено много научно-исследовательских работ, оказавших помощь промышленности, сельскому хозяйству и другим отраслям народного хозяйства, проводится работа по изучению цветных, редких и рассеянных металлов, химии дициандиамида и лактонов, механизма и кинетики жидкофазных химических реакций полимеризационных процессов.

Свой доклад А. Х. Арутюнян (Ереван) посвятила вопросу о получении растительных и эфирных масел по данным средневековой армянской литературы. В древние и средние века растительные и эфирные масла являлись предметом экспорта из стран Востока и, в частности, из Армении в западные страны. Наличие в средневековой армянской литературе большого количества рецептов получения растительных и эфирных масел, по мнению, докладчика свидетельствует о больших знаниях армян средних веков о приготовлении и применении косметических и лекарственных средств на основе масел, а также происходящих при этом химических превращениях. Получение различных эфирных масел из местных сырьевых ресурсов по древним рецептам рационально и, в большинстве случаев, практически возможно.

А. Е. Абрамов (Баку) свой доклад посвятил истории развития химии в Азербайджане в XIX веке. Докладчик показал то огромное влияние на развитие производительных сил, науки и культуры Азербайджана, которое оказало вхождение Азербайджана в состав России. Особенно ярко была показана роль в развитии нефтяной и химической промышленности таких выдающихся русских ученых, как Д. И. Менделеев, В. В. Марковников, А. А. Летний, Ф. Ф. Бейльштейн, Н. Д. Зелинский, Л. Г. Гурвич и др.

Доклад на тему "Алхимия и ятрохимия в России" сделал Н. А. Фигуровский (Москва), показавший широкое распространение алхимии и ятрохимии в Московской Руси в XVI—XVII вв. Бурное развитие разных отраслей химической техники в первой половине

XVIII века обеспечило быстрый прогресс химических знаний в России в XVIII веке.

В докладе Ю. С. Мусабекова (Ярославль) на тему "В. И. Ленин и химизация народного хозяйства" был приведен новый материал, показавший огромную заботу Ленина о развития химии в России.

Все доклады вызвали оживленный интерес и были активно обсуждены участниками сессии.

Для участников сессии была организована экскурсия в Матенада-

ран, Бюраканскую обсерваторию, Эчмиадзин и Звартноц.

Первая Закавказская конференция вызвала большой интерес общественности республик Закавказья. Она прошла на высоком научном уровне.

Вторая Закавказская конференция по истории науки состоится в

1967 г. в г. Баку.

В. Д. АЗАТЯН

СОКРАЩЕНИЯ НАЗВАНИЙ ХИМИЧЕСКИХ ЖУРНАЛОВ И СПРАВОЧНИКОВ

Агрохимия
Азербайджанский химический журнал
Армянский химический журнал
Биохимия
Бюллетень изобретений

Высокомолекулярные соединения Доклады Академии наук СССР

Доклады Академий наук союзных республик, например,

Армянской ССР

Журнал аналитической химин

Журнал Всесоюзного химического общества им Д. И. Мен-

Журнал неорганической химии

Журнал общей химии

Журнал органической химии Журнал прикладной химии

Журнал Русского физико-химического общества

Журнал Русского химического общества

Журнал структурной химии Журнал физической химии

Журнал химической промышленности

Заводская лаборатория

Известия Академии наук СССР, Отделение химических наук

Известия Академин наук СССР, серия химических наук Известия Академий наук союзных республик, например,

Армянской ССР, серия химических наук

Известия высшей школы Кинетика и катализ Коллоидный журнал

Нефтехимия

Реферативный журнал "Химия"

Синтетический каучук

Теоретическая и экспериментальная химия

Узбекский химический журнал Украинский химический журнал

Успехи химии

Ученые записки государственных университетов, например, Московского

Химическая наука и промышленность Химическая промышленность

Химия гетероциклических соединений

Химия природных соединений Сборник "Органические реакции" Синтезы органических препаратов Словарь органических соединений Агрохии.

Азер. хим. ж. Арм. хим. ж. Биохимия

Бюлл. изобрет. Высокомол. соеда

ДАН СССР

ДАН АрыССР

ЖАХ

жвхо жнх

ЖОХ ЖОрХ ЖПХ

ЖРФХО ЖРХО

жсх жфх

Ж. хим. пром. Зав. лаб.

Изв. AH СССР, ОХН Изв. AH СССР, ХН

Изв. АН АрмССР, ХН

Изв. ВШ Кин. некат. Колл. ж. Нефтехимия РЖХ

Синт. кауч.

ТЭХ

Узб. хим. ж. Укр. хим. ж.

Усп. хим.

Уч. зап. МГУ Хим. наука и пром. Хим. пром. ХГС

ХПС

Орг. реакции Синт. орг. преп. Словарь орг. соед. Acta Chemica Scandinavica Acta Chimica Sinica American Chemical Journal Analytical Chemistry Angewandte Chemie Annales de chimie (Paris) Annali di chimica (Rome) Australian Journal of Chemistry

Beilstein's Handbuch der organischen Chemie Berichte der deutschen chemischen Gesellschaft

Biochemical Journal Biochemische Zeitschrift

Bulletin des sociétés chimiques Belges Bulletin de la société chimique de France Bulletin of the Chemical Society of Japan

Canadian Journal of Chemistry Chemical Abstracts

Chemical Reviews

Chemicke Listy Chemicke Zvesti Chemiker Zeitung

Chemisch Weekblad Chemische Berichte

Chemisches Zentralblatt

Collection of the Czechoslovak Chemical Communications

Comptes rendus hebdomadaires des seances de l'academie des sciences

Gazzetta chimica Italina

Gmelin's Handbuch der anorganischen Chemie

Helvetica Chimica Acta Indian Journal of Chemistry

Industrial and Engineering Chemistry

Journal of the American Chemical Society

Journal of Biological Chemistry

Journal of Chemical Education

Journal of Chemical Physics Journal de chimie physique

Journal of the Chemical Society (London)

Journal of the Electrochemical Society

Journal of the Heterocyclic Chemistry Journal of the Indian Chemical Society

Journal of Inorganic and Nuclear Chemistry

Journal of Medicinal Chemistry

Journal of Molecular Biology

Journal of Organic Chemistry

Journal of Organometallic Chemistry

Journal of Physica! Chemistry

Journal of Polymer Science

Journal für praktische Chemie

Justus Liebigs Annalen der Chemie

Kogyo Kagaku Zasshi (Journal of the Chemical Society of Japan, Industrial Chemistry Section) Landolt-Börnstein Tabellen

Acta Chem. Scand.

Acta Chim. Sin.

Am. Chem. J.

Anal. Chem.

Angew. Chem.

Ann. chim.

Ann. chim. (Rome)

Austral. J. Chem.

Beilst. Ber.

Biochem. J.

Blochem, Z.

Bull. soc. chim. Belg. Bull. soc. chim. France

Bull. Chem. Soc. Japan

Can. J. Chem.

C. A.

Chem. Rev.

Chem. Listy

Chem. Zvesti

Chem. Ztg.

Chem. Weekbl.

Chem. Ber.

C.

Coll.

C. r.

Gazz, chim. itali.

Gm. Handb.

Helv. Chim. Acta

Indian J. Chem.

Ind. Eng. Chem.

J. Am. Chem. Soc.

J. Biol. Chem.

J. Chem. Educ.

J. Chem. Phys.

J. chim. phys.

J. Chem. Soc.

J. Electrochem. Soc.

J. Heterocycl. Chem ...

J. Indian Chem. Soc.

J. Inorg. Nucl. Chem.

J. Med. Chem.

J. Mol. Biol.

J. Org. Chem.

J. Organomet. Chem.

J. Phys. Chem.

J. Pol. Sci.

J. pr. Chem.

Lieb. Ann.

Kogyo Kagaku Zasshi L.-B. T.

Makromolekulare Chemie Monatshefte für Chemie Nature (London) Naturwissenschaften Nippon Kagaku Zasshi (Journal of the Chemical Society of Japan, Pure Chemistry Section) Proceedings of Chemical Society Proceedings of the Royal Society (London) Quarterly Reviews (London) Recueil des travaux chimiques des Pays-Bas Revista de Chimie (Bucharest) Roczniki Chemii Tetrahedron Tetrahedron Letters Transactions of the Faraday Society Zeitschrift für analytische Chemie "Presenius" Zeitschrift für anorganische und allgemeine Chemie Zeitschrift für Elektrochemie Zeitschrift für Naturforschung Zeitschrift für physikalische Chemie (Frankfurt) Zeitschrift für physikalische Chemie (Leipzig)

Zeitschrift für physiologische Chemie, Hoppe -Seylers

Jakugaku Zasshi (Journal of the Pharmaceutical So-

ciety of Japan)

Makromol. Chem. Monatsh. Nature Naturwiss.

Nippon Kagaku Zasshi
Proc.
Proc. Roy. Soc.
Quart. Rev.
Rec. trav. chim.
Rev. Chim.
Roczn. chem.
Tetrah.
Tetrah. Let.
Trans. Faraday Soc.
Z. anal. Chem.
Z. anorg. Chem.
Z. Elektrochem.
Z. Naturf.
Z. phys. Chem. (Frankfurt)

Jakugaku Zasshi

Z. physiol. Chem.

Z. phys. Chem. (Leipzig)

ዶበዺԱՆԴԱԿበՒԹՑበՒՆ

· Contract of the contract of	62
<u>Ընդհանու</u> և ֆիզիկական քիմիա	
4. Դ. Մհլթոնյան, Վ. Հ. Դանիհլյան, Ա. Մ. Հովսհփյան — Քլոբոպրենի և ժեթիլժե- թակրիլատի հաժատեղ պոլիժերի բաղադրության ջանակական ուսուժնասի- թությունը ինֆրակարժիր ոպեկտրասկոպիայով	3
[P] ան վրա	10
Ա նօ ւգանական և անալի տիկ քիմիա	
II. Ն. Ավազյան, Ս. Վ. Ոսկերչյան — Մանդանի և ցինկի ալորիզների կոմպլեքսային միացությունների ստացումը չՀաղեցած լիդանդներով	19
հետազոտում։ (. Ոսկոս (!!!) փոխազդեցությունը յարիզի հետ	23
Ս. Ա. Մհլթոնյան, Ս. Հ. Վարդանյան — Մի ջանի դարծոնների ազդեցությունը երեջ Նոր կրողներով լցված ջրոմատոգրաֆիական այունակների էֆեկտիվության	27
Арт	81
Օրգանական քիմիա	
Գ. Մ. Մկրյան, Շ. Լ. Սնջոյան, Ս. Մ. Գասպարյան — Ձհագեցած ռաղիկալներ պարու- նակող եթերների ռեակցիաները։ IV. _{7,7} -Երկփոխարինված ալլենային ածխա- ջրածինների ստացումը բուաինիլալկիլեթերների և Գրինյարի ռեակտիվի փոխ-	
ազդեցությանը Գ. Թ. Մարաիրոսյան, Ջ. Վ. Կրիգորյան — Հետադոտություններ ամինների և ամոնիումային միացությունների ընագավառում։ XXXV. Տեղա- կալված էթիլ խմբեր պարունակող չորրորդային ամոնիումային աղերի թեր-	87
միկ և հիմնային ճեղջումը	44
այությունների սինթեդ	53
հալոդենքացախաթթուների շ-ալկօբոի-β,β,β-եռբլորեթիլային էսթերներ	59
Նամակներ խմբագրությանը	
Ս. Հ. Վարդանյան, Շ. Հ Բադանյան, Ռ. Գ. Աղաբաբյան— <i>Եռքլորջացախաթթվի էթել-</i> <i>էոթերի միացումը ենինային և դիենինային սիստեմների</i> ն․ ․ ․ ․ ․ ․ ․ .	66
Խոսնիկա	
վ. Դ. Ազաայան — Գիտության պատմությանը նվիրված առաջին Անդրկովկասյան	
կոնֆերանսը	67
Բիմիական հանգեսների և տեղեկատուների անվանումների համառատագրություն- Ները	70
գեղինակային կանոններ · · · · · · · · · · · · · · · · · · ·	75

СОДЕРЖАНИЕ

	Стр.
Общая и физическая химия	
Л. Г. Мелконян, В. А. Даниелян, А. М. Овсепян—Количественное ИК-спектральное исследование состава сополимера хлоропрена с метилметакрилатом. Т. В. Крмоян, Р. К. Погосян, Э. Б. Бохян — Влияние летучих растворителей на сопротивление монослоев высших спиртов испарению	3
	10
Неорганическая и аналитическая химия	
С. Н. Авакян, С. В. Воскерчян — Комплексные соединения хлоридов магния и цинка с ненасыщенными лигандами	19
восстановления и комплексообразования золота (III) селена (IV) и теллура (IV). І. Взаимодействие золота (III) с иодидом	22
Д. С. Гайбакян, М. В. Дарбинян — О состоянии ионов молибдена (VI) и рения (VII) в растворах	27
С. А. Мелконян, С. А. Вартанян — Влияние некоторых факторов на эффективность колонок с тремя новыми носителями • • • • • • • • • • • • • • • • • • •	31
	0.
Органическая химия	
Г. М. Мкрян, Ш. Л. Миджоян, С. М. Гаспарян — Реакции простых эфиров с ненасыщенными радикалами. IV. Получение ү,ү-дизамещенных алленовых углеводородов взаимодействием бутин-2-илалкиловых эфиров с реактивом	
Гриньяра	37
этильные группы	44
Г. Т. Есаян, А. А. Бабаян, А. В. Мушегян — Превращения 3-нитро-4-окси- и 3-нитро-4-метоксибензилхлоридов. І. Синтез серусодержащих соединений В. В. Довлатян, Д. А. Костанян — Синтез гербицидов. XVI. а-Алкокси-β,β,β-	53
-трихлорэтиловые эфиры арилокси- и галондуксусных кислот • • • • •	59
Письма в редакцию	
С. А. Вартанян, Ш. О. Баданян, Р. Г. Агабабян — Присоединение этилового эфира трихлоруксусной кислоты к ениновым и диениновым системам · ·	66
Хроника	
В. Д. Азатян — Первая Закавказская конференция по истории науки · · · · Сокращения названий химических журналов и справочников · · · · · · · · · · · · · · · · · · ·	67 70 75

Сдано в производство 18/II 1666 г. Подписано к печати 24/III 1966 г. ВФ 04557. Заказ 72. Изд. 2650. Тираж 900. Объем 4,75 п. л.

ПРАВИЛА ДЛЯ АВТОРОВ

- 1. В «Армянском химическом журнале» публикуются оригинальные статьи, краткие сообщения и письма теоретического и экспериментального характера по вопросам обшей, физической, неорганической, аналитической и органической химии и химической технологии.
- 2. Статьи представляются написанными на армянском или русском языке с кратким русским или армянским резюме. Объем статьи не должен превышать 16 страниц машинописного текста, объем краткого сообщения — 5 страниц, объем письма в редакцию — 2 страниц.
- 3. Для статей, печатаемых в журнале, принята следующая общая форма: после заглавия приводятся инициалы и фамилии авторов и дается краткая аннотация объемом не более 3/4 машинописной страницы. Изложению экспериментального материала предшествует общая или теоретическая часть статьи, разъясняющая цель работы и содержащая конспективный обзор истории вопроса и обсуждение результатов данного исследования.

В экспериментальной части описывается методика работы и дается характеристика полученных соединений. Если ряд веществ получен одним и тем же методом, следует привести описание одного типового опыта, а характеристику этих веществ (константы, результаты анализов и пр.) свести в таблицу.

В конце статьи дается полное название и местонахождение учреждения, в котором выполнена работа, резюме на армянском (русском) языке и список цитированной ли-

тературы.

4. Список цитированной литературы оформляется следующим образом: указываются порядковый номер ссылки (без скобок) и инциалы и фамилии всех авторов. Для периодических изданзи далее следуют: сокращенное наименование журнала, номер тома (подчеркнуть), номер выпуска со знаком № (указывается только при отсутствии в цитируемом журнале сквозной нумерации страниц), начальная страница цитируемой статьи и год (в скобках). Для книг после фамилий авторов указывается точное название книги, издание, издательство, место издания (город), номер тома (подчеркнуть), год издания и цитируемая страница.

Ссылки на работы, с которыми автор не ознакомился в оригинале, а также ссылки на патенты должны быть обязательно дополнены ссылкой на соответствующий реферативный журнал или издание, из которого заимствованы цитируемые данные.

Ссылки на неопубликованные работы (кроме диссертаций) не допускаются. В тексте статыи порядковые номера ссылок даются на уровне строки в квадратных скобках. Фамилии иностранных авторов в тексте статьи даются в русской или армянской транскрипции, а в списке литературы — в оригинальной транскрипции.

- 5. Если статья является серийным сообщением, ее заголовок должен быть снабжен подстрочным примечанием, дающим литературную ссылку на предыдущее сообщение. Например: Сообщение V см. [1].
- 6. Статья подписывается всеми авторами с указанием их адресов и №№ телефонов, а также фамилии того из авторов, с которым редакции следует вести переписку.
- Представляемые к печати материалы (статьи, краткие сообщения и письма) должны быть написаны в возможно сжатой, но четкой форме; редакция оставляет за собой право вносить необходимые сокращения в принятые к печати материалы.
- 8. Статьи (краткие сообщения, письма) представляются в двух экземплярах, чисто напечатанными на пишущей машинке в два интервала, на одной стороне листа. К статье (краткому сообщению, письму) обязательно прилагаются: а) направление учреждения, в котором выполнена работа, б) реферат статьи в 2 экземплярах.
- 9. Все формулы четко вписываются от руки чернилами. Индексы, показатели степени и линии связей должны стоять точно на нужных местах. Греческие буквы обводятся красным карандашом.
- 10. Рисунки и чертежи, прилагаемые лишь в необходимых случаях, выполняются тушью на отдельном листе белой бумаги или кальки. Фотоснимки должны быть контрастными. Рисунки следует снабжать минимальным количеством обозначений, подробно расшифрованных в тексте или в подписях к рисункам на отдельном листе в конце

статьи. Места рисунков указываются в тексте статьи. На обороте каждого рисунка указываются заглавие статьи, фамилии авторов и порядковый номер рисунка.

11. Таблицы должны иметь свои порядковые номера; в тексте статьи указываются места таблиц. В таблицах должна быть дана характеристика синтезированных веществ в особенности ранее не описывавшихся — их развернутая формула или название, физико-химические константы, выходы и данные анализа. До аналитических данных в особой графа обязательно указывать молекулярную формулу вещества.

Помещение одного и того же материала в виде рисунков и таблиц не допускается

12. В тексте статьи, таблицах и рисунках допускаются только общепринятые в химической литературе сокращения.

13. В случае возвращения статьи автору для доработки первоначальный текст статьи обязательно направляется обратно в редакцию; в этих случаях датой поступления считается день получения редакцией окончательного текста.

Один экземпляр рукописи, не принятой к печати, автору не возвращается.

- 14. Автору направляется одна корректура, которая должна быть выслана обратно в редакцию не позже, чем через сутки с момента ее получения. В авторской корректуре исправлению подлежат только ошибки типографии; никакие дополнения или изменения первоначального текста в корректуре не допускаются.
 - 15. Редакция бесплатно выдает авторам 25 отдельных оттисков статьи.
- 16. Рукописи для опубликования следует направлять по адресу редакции: Ереван-19, Барекамутян 24, АН Армянской ССР, Редакция «Армянского жимического журнала».

